MINISTERE DE L'HABITAT, DE L'URBANISME ET DE LA VILLE



document technique règlementaire

Document d'accompagnement C 2.4.7 du DTR RNV (version 2013)

### **EXEMPLES D'APPLICATION**

### REPUBLIQUE ALGERIENNE DEMOCRATIQUE ET POPULAIRE MINISTERE DE L'HABITAT, DE L'URBANISME ET DE LA VILLE

Document Technique Réglementaire

(D.T.R. C 2.4.7)

# Règlement Neige & Vent (version 2013)

### **EXEMPLES D'APPLICATION**

Centre National d'Etudes et de Recherches Intégrées du Bâtiment

ISBN: 978-9961-845-48-6 Dépôt légal: 1937-2014

### **SOMMAIRE**

INTRODUCTION	5
ETAPES D'EVALUATION DES ACTIONS DU VENT SUR LES OUVRAGES	7
CAS D'UN BATIMENT TOUR	11
CAS D'UN HANGAR INDUSTRIEL AVEC TOITURE SYMETRIQUE A QUATRE VERSANTS	18
CAS D'UN PANNEAU DE SIGNALISATION	25
CAS D'UN CHATEAU D'EAU	28
CAS D'UNE STRUCTURE DE PYLONE	37



#### INTRODUCTION

Le présent document a pour objet de fournir un support d'accompagnement pour les utilisateurs du DTR C2.47 « Règlement neige et vent » pour la partie vent. Il traite la détermination des actions du vent sur différents types d'ouvrages choisis de manière à couvrir un maximum de cas rencontrés en pratique.

Les exemples traités concernent les cas suivants :

- Cas d'un bâtiment tour ;
- Cas d'un hangar industriel;
- Cas d'un panneau de signalisation ;
- Cas d'un château d'eau et;
- Cas d'une structure de pylône.

Dans la rédaction de ce document l'accent a été mis sur la définition d'une méthodologie progressive en partant des données initiales du projet pour aboutir aux objectifs fixés.

Afin de faciliter l'utilisation de ce document les renvois au document de référence (DTR) ont été rappelés chaque fois que cela est nécessaire.

Les exemples traités n'ont pas pour objectifs de constituer une étude exhaustive de l'action du vent du projet considéré. En effet, on considère que l'objectif est atteint dès que les différents paramètres et les actions correspondantes à une action du vent dans une direction donnée auront été définis. Diverses localisations géographiques et conditions topographiques du site ont été envisagées.

Il est important de signaler que l'action du vent doit être considérée dans les justifications des actions globales ainsi que dans les justifications des actions locales tels que dans les cas des éléments de bardages, des fixations et autres ouvrages considérés comme secondaires.



#### ETAPES D'EVALUATION DES ACTIONS DU VENT SUR LES OUVRAGES

#### Introduction

Une procédure de détermination de l'action statique du vent sur un ouvrage ou partie d'ouvrage est expliquée dans les paragraphes suivants. Cette procédure est définie sur la base des principes généraux contenus dans le DTR Règlement Neige et Vent, Partie vent.

Dans la définition de cette procédure, des commentaires peuvent être rencontrés dans le but d'apporter plus de détails et d'attirer l'attention des utilisateurs sur certains aspects liés au calcul de l'action du vent ou l'un de ses paramètres.

#### ÉTAPE I : PRESSION DYNAMIQUE DE RÉFÉRENCE (cf. § 2.3.1)

- Définition de la zone climatique du vent : le territoire algérien est divisé en 04 zones de vent *(cf. Annexe 1)*. Cette classification est le résultat d'une analyse statistique des vitesses du vent enregistrées par les services de l'ONM.
- La vitesse de référence est définie comme étant la vitesse moyenne du vent sur 10 minutes, mesurée dans un site plat à une hauteur de 10 m, avec une probabilité de dépassement égale à 0,02 ;
- La pression dynamique de chaque zone est définie sur la base d'une vitesse de référence (cf. tableau A1) ;
- Lorsque dans les documents de marché, une vitesse de vent autre que celle du DTR est prescrite il y a lieu de déterminer la vitesse équivalente dans les mêmes conditions de définition ;
- Une distinction entre les ouvrages permanents et les ouvrages temporaires est nécessaire pour la fixation de la pression de référence (cf.  $\S 2.3.1$ ).

#### ÉTAPE II: ENVIRONNEMENT IMMÉDIAT DU SITE

- Détermination de la catégorie du terrain pour chaque direction de vent (cf. § 2.4.3);
- Détermination du coefficient de rugosité du terrain qui traduit l'influence de la rugosité et de la hauteur sur la vitesse moyenne du vent (cf. § 2.4.4);

Dans le cas où un bâtiment est situé dans la transition entre les catégories de rugosité différentes, il est recommandé de prendre la catégorie du terrain le moins rugueux dans les conditions suivantes :

L'ouvrage est situé à proximité d'un changement de rugosité du terrain à une distance :

- De moins de 2 km d'un terrain de catégorie 0;
- De moins de 1 km d'un terrain moins rugueux appartenant aux catégories I à III.
- Détermination du coefficient de topographie qui permet de prendre en compte les effets du relief sur l'accroissement de la vitesse moyenne du vent  $(cf. \S 2.4.5)$ ;

- Détermination du coefficient d'intensité de turbulence qui quantifié la variabilité de la vitesse du vent (cf. § 2.4.6);

Il est défini comme étant l'écart type de la turbulence du vent divisé par la valeur moyenne de la vitesse du vent.

- Coefficient d'exposition : le coefficient d'exposition  $C_e(z)$  dépend de la rugosité du terrain et de la topographie au voisinage de la construction (cf. § 2.4.2) ;
- Le coefficient d'exposition dépend de la hauteur équivalente  $z_e$  (cf. § 2.3.2) à laquelle est calculé  $C_e(z)$ .

#### ÉTAPE III : DÉTERMINATION DE LA PRESSION DYNAMIQUE DE POINTE

La pression dynamique de pointe est donnée par (cf. § 2.3) :

$$q_p(z_e) = C_e(z) q_{réf}$$

C<sub>e</sub>(z) est le coefficient d'exposition déterminée dans l'étape II ;

q<sub>réf</sub>: pression dynamique de référence déterminée dans l'étape I.

## ÉTAPE IV: DÉTERMINATION DES COEFFICIENTS AÉRODYNAMIQUES (cf. chapitres 4 et 5)

- Deux (02) types de coefficients aérodynamiques sont donnés :
  - Coefficients de pression (extérieure, intérieure et nette) (cf. § 5.1, § 5.2 et § 5.3),
  - Coefficients de force (cf. chapitre 4)
- Les coefficients de pression extérieure C<sub>pe</sub> dépendent :
  - De la dimension de la surface chargée ;
  - Du type de parois :
    - ✓ parois verticales des constructions à base rectangulaire ;
    - ✓ parois verticales des constructions à base circulaire ;
    - ✓ toiture à un versant, deux versants, etc.;
    - ✓ autres.
  - De la position sur la paroi qui est divisée en zones (cf. § 5.1).
    - Coefficients de frottement pour la prise en compte de l'action du vent parallèlement à la direction du vent ;
- Coefficients de pression intérieure C<sub>pi</sub> :
  - Dépendent de la distribution des ouvertures sur les différentes parties du bâtiment;
  - Pour les bâtiments sans faces dominantes  $C_{pi}$  est fonction de l'indice de perméabilité  $\mu_p$ ;
  - Pour un bâtiment avec faces dominantes Cpi est fonction de la valeur de Cpe.
- Coefficient de pression nette pour les toitures isolées et les ouvrages en porte-à-faux ;
- Coefficient de force (ou de trainée) :

- Il peut être utilisé lorsque l'on veut calculer la force globale due au vent ;
- Le coefficient de force dépend de l'élancement effectif (λ<sub>e</sub>) et du coefficient de remplissage φ regroupés en un seul coefficient appelé facteur d'élancement ψ<sub>λ</sub>,
- Le coefficient de force est donné par :  $C_f = \psi_{\lambda}$ .  $C_{f,0}$
- Cf est donné pour différents types de formes de construction :
  - ✓ A base rectangulaire :
  - ✓ A base polygonale régulière ;
  - ✓ A base cylindrique;
  - ✓ Structure en treillis :
  - ✓ Drapeau et panneaux de signalisation.

#### ÉTAPE V : Coefficient dynamique

(cf. chapitre 3)

Le coefficient dynamique est destiné à prendre en compte :

- D'une part l'absence de simultanéité entre les pointes de pression sur les surfaces de construction (effet de dimension réducteur) et ;
- D'autre part les vibrations de la structure engendrées par la turbulence (effet dynamique amplificateur) ;
- une valeur simplifiée et conservative pour certains bâtiments (cf. § 3.2) peut être prise égale à 1;
- Dans les autres cas la procédure détaillée doit être utilisée (cf. § 3.3)

### **ÉTAPE VI : Vérification de l'excitation par le détachement tourbillonnaire** (cf. annexe 3)

- Pour certains types d'ouvrages élancés (élancement > 6), la vérification du phénomène du détachement tourbillonnaire (réponse dans la direction perpendiculaire à la direction du vent) doit être effectuée ;
- Le critère de sensibilité est une vitesse critique du vent à ne pas dépasser. (Cette vitesse est fonction de la largeur de la section transversale, de la fréquence du mode fondamental, et d'un nombre aérodynamique appelé nombre de Strouhal) (cf. annexe  $3 \$  4).



#### CAS D'UN BATIMENT TOUR

#### **OBJECTIFS**

Cet exemple a pour objectifs la détermination des actions du vent sur un bâtiment étagé.

#### GÉOMÉTRIE

Longueur:

1 = 30 m;

Largeur:

b = 25 m;

Hauteur:

h = 50 m.

#### **DONNÉES**

Zone de vent : zone II  $(V_{réf}) = 27 \text{ m/s},$ 

(cf. tableau 1.1)

 $V_{réf} = 435 \text{ N/m}^2$ 

(cf. chapitre 2 § 2.3.1)

#### CATÉGORIE DE TERRAIN

(cf. chapitre 2 § 2.4.3)

Catégorie de terrain	Кт	Z <sub>0</sub>	Zmin	3
(IV)  Zone dont au moins 15% de la surface est occupée par des bâtiments de hauteur moyenne supérieure à 15m.	0.234	1	10	0.67

Tableau 1 : Paramètres de calcul

#### PARAMÈTRES DE CALCUL

Hauteur de référence ze

(cf. chapitre 2 § 2.3.2)

La hauteur de référence est :

- Pour les murs au vent : On définit deux bandes (voir figure 1) :
- bande 1 :  $z_e = b = 25 \text{ m}$ ;
- bande 2 :  $z_e = 2b = 50 \text{ m}$ .
- Pour les murs sous le vent et parallèles au vent :  $z_e = h = 50$  m (hauteur totale du mur)

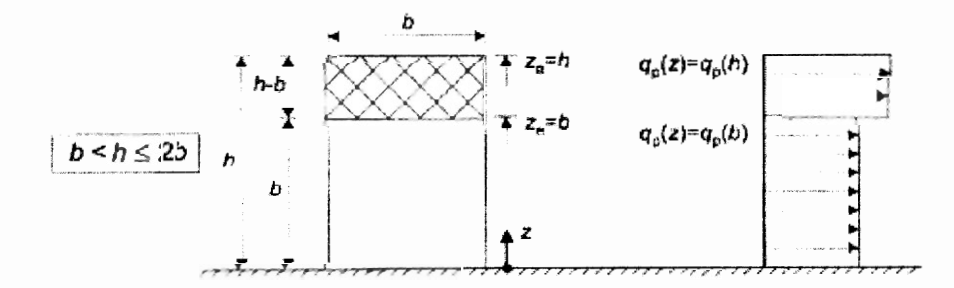


Figure 1 : Subdivision du bâtiment pour la définition de la hauteur de référence

Coefficient de rugosité (cf. chapitre 2 § 2.4.4)

$$\begin{cases} C_r(z) = K_T \times Ln \left(\frac{z}{z_0}\right) & \text{pour} \quad z_{\min} \le z \le 200 \text{m} \\ \\ C_r(z) = K_T \times Ln \left(\frac{z_{\min}}{z_0}\right) & \text{pour} \quad z < z_{\min} \end{cases}$$

On obtient les valeurs du tableau 2 :

Tronçon	$z = z_e[m]$	Cr
de 0 à 25 m	25	0.753
de 25 à 50 m	50	0.915

Tableau 2 : Coefficient de rugosité

#### Coefficient de topographie

(cf. § 2.4.5)

L'ouvrage est situé sur le versant d'un escarpement sous le vent (voir figure 2). On a :

$$C_t(z) = 1 + s_{\text{max}} \times \left(1 - \frac{|x|}{k_{red} \times L}\right) \times e^{-\alpha z/L} \quad \text{pour} \quad \phi \ge 0.05$$

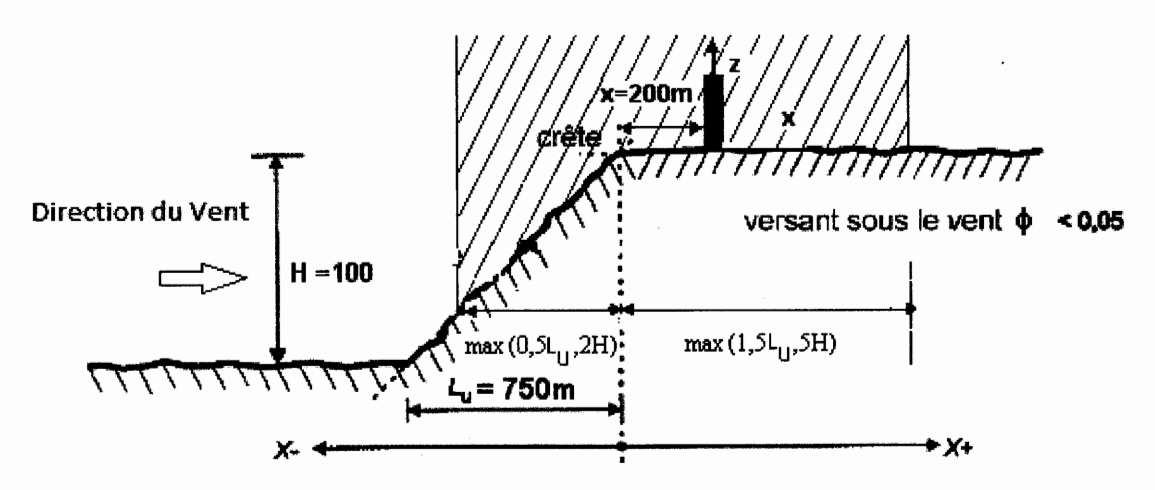


Figure 2 : Topographie du site de l'ouvrage

Où:

- $\phi$  est la pente du versant au vent ;
- H (en m) est la hauteur du versant; H = 100 m;
- $L_u$  (en m) est la longueur du versant au vent :  $L_u = 750 \text{m}$ ;
- L (en m) Longueur caractérisant le versant au vent, donné par :

 $L = max (0.5Lu, 2H) = max (0.5 \times 750; 2x100) = 375 m.$ 

On vérifie bien que  $\phi = \frac{H}{L_{\odot}} = 100/750 = 0.134 > 0.05$ .

- x (en m) est la distance horizontale entre le lieu d'implantation de l'ouvrage et le sommet du versant : x = 200 m

- z (en m) est la distance verticale mesurée à partir du niveau du sol au lieu considéré. Le coefficient de topographie varie en sens inverse de z. d'où une valeur moyenne de z peut être prise égale à la hauteur du centre de gravité de la paroi de chaque tronçon ;
- $S_{max}$ ,  $\alpha$  et  $k_{red}$  sont des coefficients donnés dans le tableau 3 en fonction de la forme de l'obstacle et du rapport H/L (cf. tableau 2.6).

Farma da l'abata ala	tools S :		k <sub>red</sub>	
Forme de l'obstacle	e de l'obstacle Smax	α	x < 0	x > 0
Falaise	$1,3 \times H/L =$ $1.3 \times 100/375 = 0.347$	2.5	1,5	4

Tableau 3 : Paramètres relatifs à la détermination de  $C_t(z)$ 

- -H = 100 m:
- $-L_u = 750 \text{ m}$ :
- Max  $(1.5L_u, 5H)$  = max  $(1.5 \times 750, 5 \times 100)$  = 1125 m;
- $-x/L = 200/375 = 0.533 \Rightarrow 1-x/(k_{red} \times L) = 1-200/(4\times375) = 0.867;$

Les valeurs du coefficient de topographie sont données au tableau 4.

Tronçon	z <sub>e</sub> [m]	z/L	$C_t(z_e)$
de 0 à 25 m	25	0,067	1.263
de 25 à 50 m	50	0,133	1.230

Tableau 4 : Valeurs de  $C_t(z)$ 

#### Coefficient d'exposition

$$C_e(z) = C_t^2(z) \times C_r^2(z) \times [1+7I_v(z)]$$

On obtient les valeurs du tableau 5.

Tronçon	z <sub>e</sub> [m]	C <sub>e</sub> (z <sub>e</sub> )
de 0 à 25 m	25	2.462
de 25 à 50 m	50	3.11

Tableau 5 : Valeurs de  $C_e(z)$ 

#### Intensité de turbulence

$$\begin{cases} I_{v}(z) = \frac{1}{C_{t}(z) \times Ln(\frac{z}{z_{0}})} & pour \ z > z_{\min} \\ I_{v}(z) = \frac{1}{C_{t}(z) \times Ln(\frac{z_{\min}}{z_{0}})} & pour \ z \le z_{\min} \end{cases}$$

On obtient les valeurs du tableau 6.

Tronçon	z <sub>e</sub> [m]	$I_v(z)$
de 0 à 25 m	25	0,246
de 25 à 50 m	50	0,208

Tableau 6 : Valeurs de  $I_v(z)$ 

#### Pression dynamique de pointe

La pression dynamique de pointe est déterminée par (cf. §2.3):

$$q_p(z_e) = q_{ref} \times C_e(z)$$
;

Avec  $q_{r\acute{e}f} = 435 \text{ N/m}^2$ 

Les valeurs de  $q_n(z_e)$  sont données dans le tableau 7 pour chaque tronçon du bâtiment.

Tronçon	z <sub>e</sub> [m]	$q_p(z_e)$ $[N/m^2]$
de 0 à 25 m	25	1088
de 25 à 50 m	50	1353

Tableau 7 : Valeurs de  $q_{v}(z_{e})$ 

#### Récapitulatif

Tronçon	Z <sub>e</sub> [m]	Cr	z/L	$C_t(z_e)$	$I_v(z)$	C <sub>e</sub> (z <sub>e</sub> )	$q_p(z_e)$ $[N/m^2]$
de 0 à 25 m	25	0.753	0,067	1.263	0,246	2.462	1088
de 25 à 50 m	50	0.915	0,133	1.230	0,208	3.11	1353

Tableau 8 : Récapitulatif

#### COEFFICIENT DYNAMIQUE CD

(cf. chapitre 3)

Du fait qu'il s'agit d'un bâtiment à ossature et comportant des murs, et dont la hauteur h est inférieure à 100m et à 4 fois la dimension du bâtiment mesurée dans la direction perpendiculaire à la direction du vent, la valeur simplifiée et conservative  $C_d = 1$  peut être considérée. (cf. chapitre 3 § 3.2).

Cependant pour montrer l'applicabilité de la procédure détaillée, le tableau 9 illustre les différentes étapes de calcul du coefficient C<sub>d</sub>.

Paramètre	Forme analytique	Référence	Résultat
$L_i(z_{eq})$	$L_{i}(z) = 300 \times \left(\frac{z}{200}\right)^{\varepsilon}$	cf. § 3.3.1 formule 3.3a	118.50
$Q^2$	$L_{i}(z) = 300 \times \left(\frac{z}{200}\right)^{\varepsilon}$ $Q^{2} = \frac{1}{1+0.9 \times \left(\frac{(b+h)}{L_{i}(z_{eq})}\right)^{0.63}}$	cf. § 3.3.1 formule 3.2	0.597
$n_{l,x}$ (Hz)	$n_{1,x} = 46/h$	cf. § 3.3.4.2 formule 3.14	0.92
δ	$\delta = \delta_s + \delta_a$ avec $\delta_a = 0$	cf. § 3.3.2 formule 3.9 tableau 3.1	0,1
$V_m(z_{eq})$	$V_m(z) = C_r(z) \times C_t(z) \times V_{réf}$	cf. annexe 2	31.51
$N_x$	$N_x = \frac{n_{1,x} \times L_i(z_{eq})}{V_m(z_{eq})}$	cf. § 3.3.2 formule 3.6	3.46
$R_N$	$R_N = \frac{6.8 \times N_x}{(1+10.2 \times N_x)^{\frac{5}{3}}}$	cf. § 3.3.2 formule 3.5	0.06
	$\eta_h = \frac{4.6 \times N_x \times h}{L_i(z_{eq})}$	cf. §3.3.2 formule 3.8a Pour h = 50 m	6.72
η	$\eta_h = \frac{4.6 \times N_x \times h}{L_i(z_{eq})}$	cf. § 3.3.2 formule 3.8b Pour b = 25 m	4.03
$R_h$	$R_h = \left(\frac{1}{\eta_h}\right) - \left(\frac{1}{2 \times \eta_h^2}\right) \times \left(1 - e^{-2 \times \eta_h}\right)$	cf. § 3.3.2 formule 3.7a	0.1378
$R_b$	$R_b = \left(\frac{1}{\eta_b}\right) - \left(\frac{1}{2 \times \eta_b^2}\right) \times \left(1 - e^{-2 \times \eta_b}\right)$	cf. § 3.3.2 formule 3.7b	0.2173
$R^2$	$R^2 = \frac{\Pi^2}{2 \times \delta} \times R_N \times R_h \times R_h$	cf. § 3.3.2 formule 3.4	0,0885
ν	$v = n_{1,x} \times \sqrt{\frac{R^2}{Q^2 + R^2}} \ge 0.08$	cf. § 3.3.3 formule 3.12	0.330
G	$\sqrt{2 \times Ln(600 \times v)} + \frac{0.6}{\sqrt{2 \times Ln(600 \times v)}} \ge 3$	cf. § 3.3.3 formule 3.11	3.43
Iv (Zeq)	$I_{v}(z) = \frac{1}{C_{t}(z) \times Ln(\frac{z}{z_{0}})}  pour \ z > z_{min}$	a) Constructions verticales, telles que bâtiments, etc. $z_{eq} = 0.6h = 30m  (Cf. 3.3 fig. 3.1)$ Pour $I_v  (Cf. \S 2.4.6 formule 2.5a)$	0,208
$C_d$	$\frac{1+2\times g\times I_{v}(z_{eq})\times \sqrt{Q^{2}+R^{2}}}{1+7\times I_{v}(z_{eq})}$	cf. §.3.3 formule 3.1	0,888

Tableau 9 : Coefficient C<sub>d</sub>

#### **COEFFICIENTS DE PRESSION**

(cf. chapitre 5)

#### Coefficient de pression extérieur

$$\begin{split} C_{pe} &= C_{pe,1} & \text{si } S \leq 1 \text{ m}^2 \text{ ;} \\ C_{pe} &= C_{pe,1} + (C_{pe,10} - C_{pe,1}) \times log_{10} \text{ (S)} & \text{si } 1 \text{ m}^2 < S < 10 \text{ m}^2 \text{ (cf. eq. 5.1)}. \end{split}$$

#### Cas de vent perpendiculaire à la largeur du bâtiment

$$C_{pe} = C_{pe,10} \qquad pour \quad S \ge 10 \ m^2$$

#### Parois verticales: Cpe,10

- -e = min(b, 2h) = min(25, 100) = 25 m;
- Aire de la zone A : =  $A_A = \frac{e}{5} \times 50 = 250m^2$  ;
- Aire de la zone B :=  $A_B = (e \frac{e}{5}) \times 50 = 1000m^2$  ;
- Aire de la zone C :=  $A_C = (d e) \times 50 = 250m^2$ ;
- Aire de la zone D : =  $25 \times 50 = 1250m^2$  ;
- Aire de la zone E : =  $25 \times 50 = 1250m^2$  ;
- $S \ge 10 \text{ m}^2$ , on prend  $C_{pe} = C_{pe,10}$ .

Zone	Aire [m²]	Cpe
Α	250	-1.0
В	1000	-0.8
С	250	-0.5
D	1250	+0.8
Е	1250	-0.3

Tableau 10 : Valeurs des coefficients Cpe

#### Coefficient de pression intérieur

$$\mu_p = \frac{\sum des \ surfaces \ des \ ouvertures \ où \ C_{pe} \le 0}{\sum des \ surfaces \ de \ toutes \ les ouvertures}$$

Les ouvertures où  $C_{pe}$  est négatif ou nul sont situées au niveau des zones A, B, C et E. En considérant sur chaque face 4 fenêtres de dimensions  $1.20 \times 1.40 \text{ m}$ 

Il ne s'agit donc pas de cas de bâtiment avec face dominante. On se reporte donc au  $\S 5.2.2.2$  pour la détermination de  $C_{pi}$ .

Surface de toutes les ouvertures :  $(1.2 \times 1.4) \times (16) \times (16) = 430.08 \text{ m}^2$ 

Surface des ouvertures ou  $C_{pe} \le 0$ : 1.2x1.4 x 12 x 16 = 322.56 m<sup>2</sup>

 $\mu_p = 322.56 / 430.08 \implies \mu_p = 0.75$ 

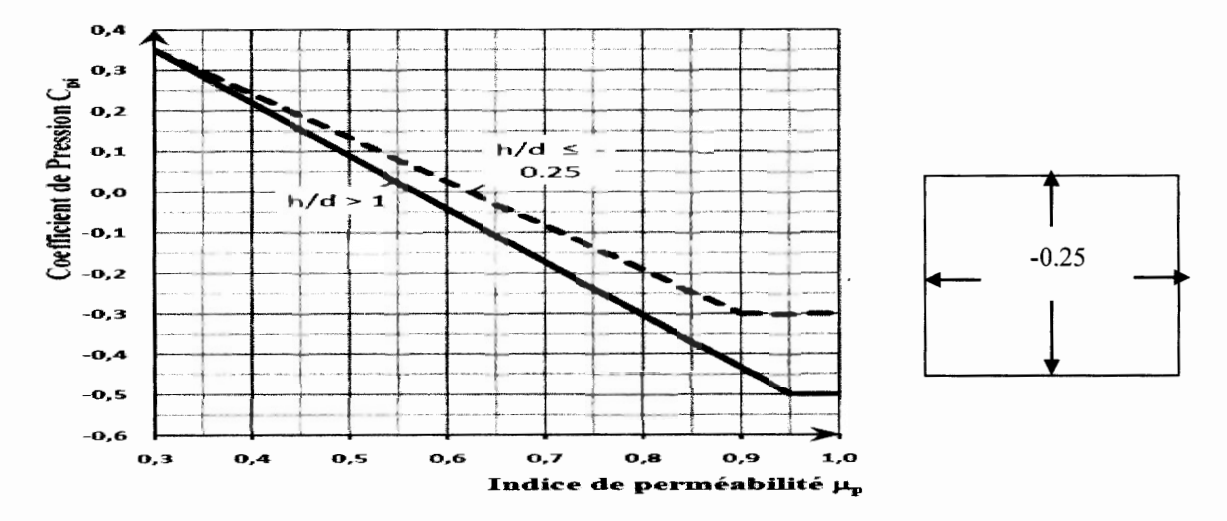


Figure 3 : Coefficient de pression  $C_{pi}$  en fonction de l'indice de perméabilité  $\mu_p$ 

Pour 
$$\mu_p = 0.75$$
 et  $h/d = 50/30 = 1.67 > 1$   $C_{pi} = -0.25$ 

La hauteur de référence ( $cf. \S 5.2.2.3$ ) est prise égale à la hauteur de référence considérée pour la détermination des pressions extérieures soit :

- $-z_e = h = 50 \text{ m}$  pour les murs parallèles au vent et sous le vent ;
- $z_e = b = 25$  m et  $z_e = h = 50$  m pour les parois au vent.

#### PRESSION SUR LES PAROIS AU VENT : (ZONE D)

		Forces extérieures en kN					
z [m]	$q_p(z_e)$ $[N/m^2]$	Aire A <sub>ref</sub> [m <sup>2</sup> ]	Cpe	Cpi	W (ze) [N/m <sup>2</sup> ]	Force totale [kN]	
$z_{eq} = 25$	1088	625	+0.8	-0.25	1124.38	702.73	
$z_{eq} = 50$	1353	625	+0.8	-0.25	1420.78	887.98	

Tableau 11 : Forces extérieures sur les parois au vent

## Pression sur les parois parallèles au vent et sous le vent : (zone A, B, C et E)

7	g (g )		Forces extérieures en kN					
Z [m]	$q_p(z_e)$ [N/m <sup>2</sup> ]	Zone	Aire A <sub>ref</sub> [m <sup>2</sup> ]	Cpe	Cpi	W (ze) [N/m <sup>2</sup> ]	Force totale [kN]	
$z_{eq} = 50$	1353	A	250	-1.0	-0.25	-1014.84	-198.18	
		В	1000	-0.8	-0.25	-744.22	-744.22	
		С	250	-0.5	-0.25	-338.28	-86.42	
		Е	1250	-0.3	-0.25	-67.65	-84.57	

Tableau 12 : Forces extérieures sur les parois parallèles au vent et sous le vent

Nota : de la même manière, on peut déterminer les actions du vent dans les autres directions.

# CAS D'UN HANGAR INDUSTRIEL AVEC TOITURE SYMETRIQUE A QUATRE VERSANTS

#### **OBJECTIFS**

Cet exemple a pour objectif de montrer la procédure de détermination des actions du vent sur un ouvrage de type hangar avec toiture symétrique à quatre pans. Les angles de pente des versants du long pan et du pignon ne sont pas identiques.

#### GÉOMÉTRIE DE L'OUVRAGE

#### TOITURE À 4 PANS

h(m) = 6.30  m
b = 20.00  m
hp(m) = 5.00 m
d(m) = 10.00  m
$(\alpha_0)$ (°) = 15.00°
$(\alpha_{90})$ (°) = 45.00°

- Angle de pente =  $15^{\circ}$
- Entre axe entre portique = 5 m
- Entre axe entre montant = 5 m
- Entre axe entre pannes = 1.4 m

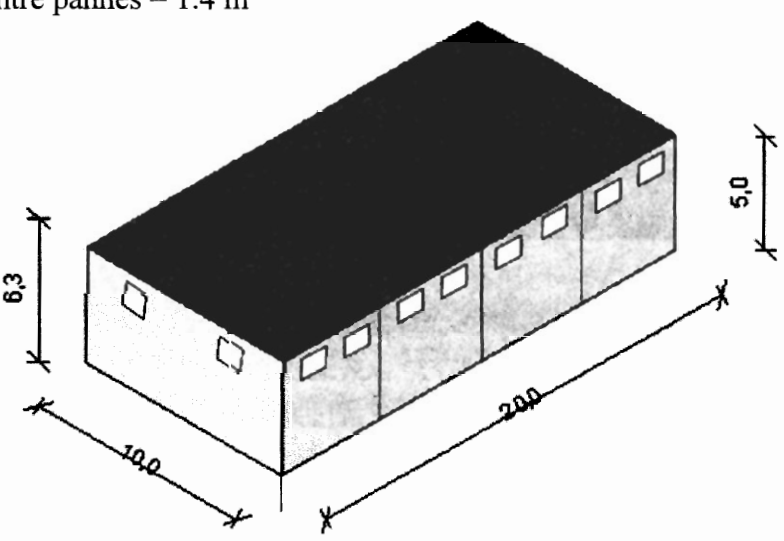


Figure 4 : Géométrie de l'ouvrage

#### PERMÉABILITÉ DE L'OUVRAGE

L'ouvrage comprend 20 ouvertures de 1.5x1.5m répartie comme indiqué sur la figure 4.

Il n'y a pas de face dominante :

(cf. 5.2.2.1)

L'indice de perméabilité est donnée par :

(cf. 5.2.2.2)

$$\mu_p = \frac{\sum des \ surfaces \ des \ ouvertures \ ou \ C_{pe} \ est \ négatif \ ou \ égal \ \grave{a} \ 0}{\sum des \ surfaces \ de \ toutes \ les ouvertures} = \frac{12}{20}$$

 $\mu_{\rm p} = 0.60$ 

#### Localisation de l'ouvrage

Catégorie de terrain : Cat = I

Zone de vent : Zone = I

Vitesse de référence du vent :  $V_{réf} = 25 \text{ m/s}$ 

Pression de référence :  $q_{réf} = 375 \text{ N/m}^2$ 

#### Topographie du site

Type d'obstacle : falaise

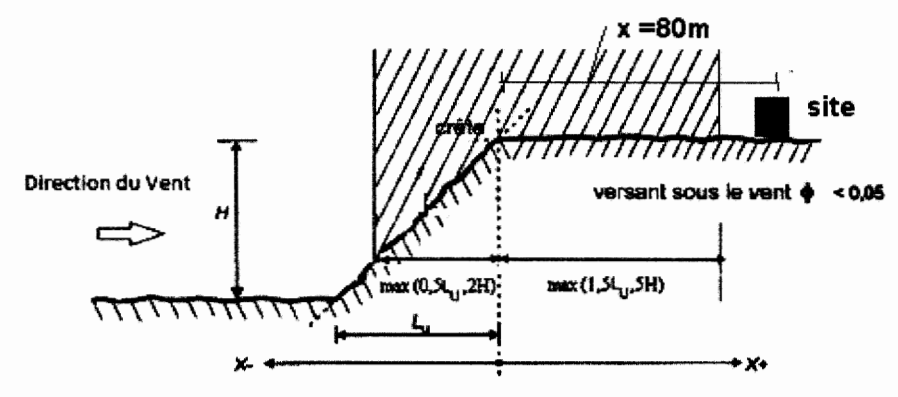


Figure 5 : Topgraphie du site de l'ouvrage

Hauteur de l'obstacle : H = 10 ;
 Position de la structure : x = 80,
 Longueur du versant : L<sub>u</sub> = 20.

L'ouvrage est implanté à une distance x = 80 m par rapport à la crête de l'obstacle. Cette distance est supérieure au max (1.5  $L_u$ , 5H). Par conséquent le coefficient de topographie est pris égal à :  $C_t(z) = 1.00$ 

Intensité de turbulence

$$\begin{cases} I_{v}(z) = \frac{1}{C_{t}(z) \times Ln(\frac{z}{z_{0}})} & pour \ z > z_{\min} \\ I_{v}(z) = \frac{1}{C_{t}(z) \times Ln(\frac{z_{\min}}{z_{0}})} & pour \ z \leq z_{\min} \end{cases}$$

Le tableau 13 donne les valeurs de I<sub>v</sub> (z)

Vent sur :	z <sub>e</sub> [m]	$I_{v}(z)$
Mur	5	0.16
Toiture	6.3	0.15

Tableau 13 : Valeurs de  $I_v(z)$ 

#### Coefficient de Rugosité

Vent sur :	z <sub>e</sub> [m]	C <sub>r</sub> (z <sub>e</sub> ) 1.05	
Mur	5		
Toiture	6.3	1.10	

Tableau 14 : Valeurs de  $C_r(z)$ 

#### Coefficient d'exposition

(cf. § 2.4)

$$C_e(z) = C_t^2(z) \times C_r^2(z) \times [1+7I_v(z)]$$

Vent sur :	z <sub>e</sub> [m]	$C_e(z_e)$
Mur	5	2.37
Toiture	6.3	2.50

Tableau 15 : Valeurs de  $C_e(z)$ 

#### Récapitulatif

Vent sur :	z <sub>e</sub> [m]	Cr(ze)	$I_v(z)$	$C_e(z_e)$	$q_p(z_e)$ $[N/m^2]$
Mur	5	1.05	0.16	2.37	889
Toiture	6.3	1.10	0.15	2.50	938

Tableau 16 : Récapitulatif

#### PAROIS VERTICALES (VENT PERPENDICULAIRE AU LONG PAN) (cf. §5.1.2)

#### Découpage du bâtiment en plusieurs parties

Distance (e) =  $\min$  (b, 2h) =  $\min$  (20, 2x6.35) = 12,7 m;

La distance (e) dépasse la profondeur du bâtiment. On prend donc pour le découpage deux zones A et B respectivement de largeur e/5 et b-e/5. (cf. fig.6)

Avec : e/5 = 12.7/5

La hauteur de la paroi latérale est de 5m, on obtient donc les aires suivantes pour les zones A, B, D et E.

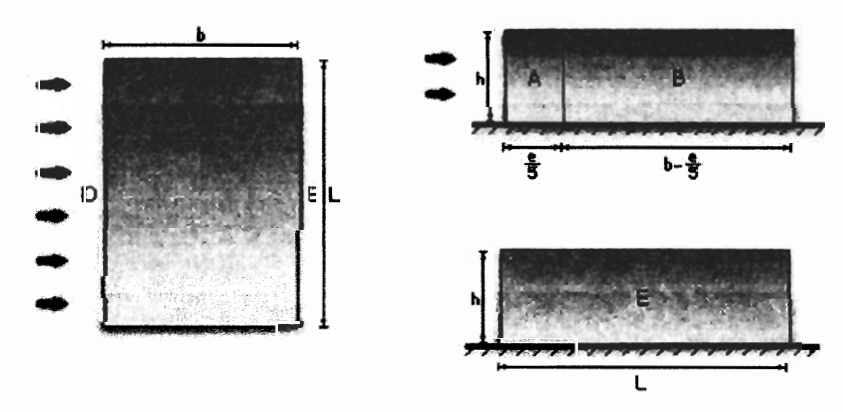


Figure 6 : Découpage du bâtiment

Hauteur de	Aires des zones						
référence z <sub>e</sub>	$A_{A'}[\mathbf{m}^2]$	$A_{B'}$ [m <sup>2</sup> ]	$A_D$ [m <sup>2</sup> ]	$A_E[\mathbf{m}^2]$			
5.00	12.7	37.3	100.00	100.00			

Tableau 17: Aires des zones

#### Coefficients de pression extérieure (cf. tableau 5.1)

Les aires des différentes zones étant supérieures à 10 m<sup>2</sup>, on obtient les coefficients de pression C<sub>pc,10</sub> suivants :

Zone	Zone A'	Zone B'	Zone D	Zone E	
$C_{pe}$	-1.00	-0.80	+0.80	-0.30	

Tableau 18 : Valeurs de coefficients Cpe, 10

#### Coefficient de pression intérieure

Le coefficient de pression intérieure est fonction de  $\mu_n$  et du rapport h/d. (cf. fig. 5.15)

Avec: h/d = 6.3/10 = 0.63.

La valeur de  $C_{pi}$  est la valeur correspondant à une interpolation linéaire entre les valeurs correspondants à h/d = 0.25 et h/d = 1

Pour 
$$\mu_p = 0.6$$
 et h/d = 0.25

$$C_{pi} = 0.025$$
;

Pour 
$$\mu_{p} = 0.6$$
 et h/d = 1

$$C_{pi} = -0.0422$$
;

D'où  $C_{pi} = 0.006$ , on prend dans la suite de l'exemple  $C_{pi} = 0.01$ 

#### Hauteur de référence

La hauteur de référence pour les pressions intérieures est égale à la hauteur de référence  $z_e$  pour les pressions extérieures exercées sur les faces qui contribuent par leurs ouvertures à la création des pressions intérieures. Lorsqu'il existe plusieurs ouvertures la plus grande valeur de  $z_e$  est utilisée. (cf. § 5.2.2.3).

Dans le cas présent la hauteur de référence est égale à la hauteur de la paroi.  $z_e = 5m$ 

#### Pressions aérodynamiques sur les parois (cf. $\delta$ 2.5.2)

$$W(z_j) = q_p(z_e) \times [C_{pe} - C_{pi}]$$

Zone	q <sub>p</sub> (z)	Сре	Срі	Cpe-Cpi	$W(z_j)$ $[N/m^2]$
Α	889	-1.00	0.01	-0.99	-880
В	889	-0.80	0.01	-0.79	-702
D	889	+0.80	0.01	0.81	721
Е	889	-0.30	0.01	-0.29	258

Tableau 19 : Pressions aérodynamiques sur les parois

#### **TOITURES**

Hauteur de référence :  $z_e = h = 6.3 \text{ m}$ 

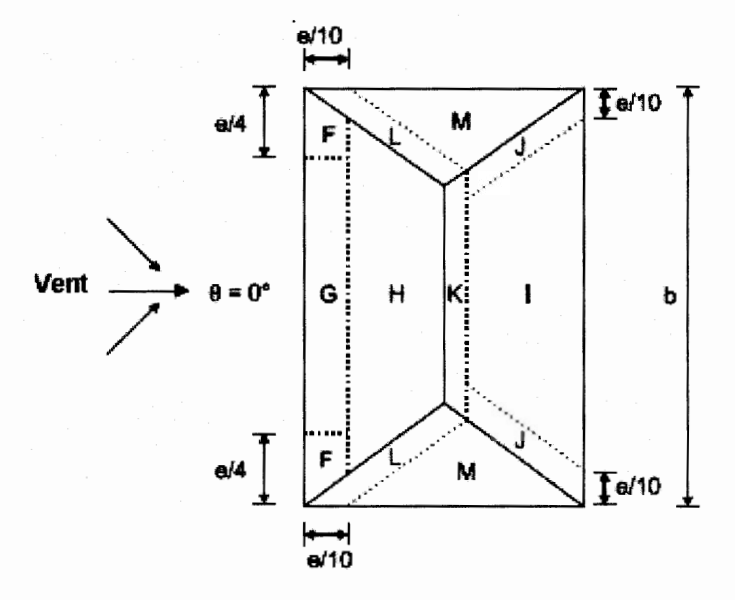


Figure 6 : Zones de toiture du bâtiment

Hauteur de	Aires des zones							
référence z <sub>e</sub>	$A_{F'}[\mathbf{m}^2]$	$A_{G'}[\mathbf{m}^2]$	A <sub>H</sub> [m <sup>2</sup> ]	$A_I$ [m <sup>2</sup> ]	$A_J[m^2]$	$A_K$ [m <sup>2</sup> ]	$A_L$ [m <sup>2</sup> ]	A <sub>M</sub> [m <sup>2</sup> ]
6.3	3.9	17.9	70.8	73.7	5.7	11.5	2.3	7.2

Tableau 20 : Aires des zones de toiture.

Pression dynamique de pointe  $q_p(z_e) = 938 (N/m^2)$ 

Coefficients de pression extérieure (cf. § 5.1.6)

Les valeurs de Cpe (cf. tableau 5.5) sont données par le tableau 21.

Il est à noter que les valeurs de ces coefficients sont celles correspondantes à  $C_{pe,10}$  pour les aires supérieures à 10 m<sup>2</sup> et les valeurs obtenues par interpolation linéaire entre  $C_{pe,10}$  et  $C_{pe1}$  pour les aires entre 1 m<sup>2</sup> et 10 m<sup>2</sup> (cf. 5.1.1.2)

		Coefficients de pression extérieure								
	Zone F	Zone G	Zone H	Zone I	Zone J	Zone K	Zone L	Zone M		
Dépression	-1.35	-0.8	-0.3	-0.5	-1.12	-1.2	-1.78	-0.69		
Surpression	+0.2	+0.2	+0.2							

Tableau 21 : Coefficients de pression extérieure

#### Coefficient de pression intérieure

Le coefficient de pression intérieure est  $C_{pi} = 0.01$ 

#### Pressions aérodynamiques sur la toiture [N/m<sup>2</sup>]

(cf. § 2.5.2)

$$W(z_j) = q_p(z_e) \times [C_{pe} - C_{pi}]$$

	Zone F	Zone G	Zone H	Zone I	Zone J	Zone K	Zone L	Zone M
Dépression	-1276	-760	-291	-478	-1060	-1135	-1679	-657
Surpression	178	178	178					

Tableau 22 : Pressions sur la toiture

#### Notes:

- •Les valeurs de pressions dynamiques sur les parois et sur la toiture peuvent être utilisées pour la justification des différents éléments constitutifs de l'ouvrage (pannes, assemblage, bardage, etc.).
- Pour les justifications des actions globales il y a lieu de multiplier les valeurs obtenues par le coefficient dynamique C<sub>d</sub> (lequel, pour ce cas particulier peut être pris égal à 1.)



#### CAS D'UN PANNEAU DE SIGNALISATION

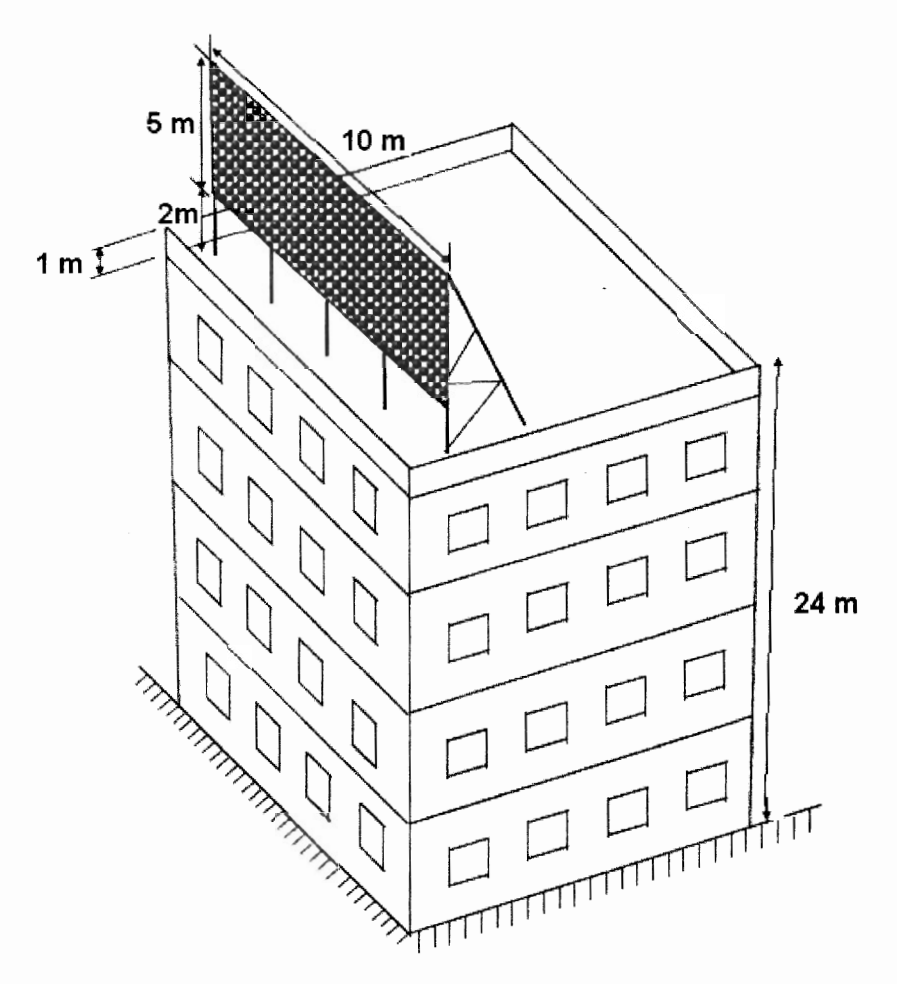


Figure 6 : Panneau de signalisation

#### GÉOMÉTRIE

- Longueur : L=10 m - Hauteur : h=5 m - Surélévation par rapport à la base :  $z_g$  =1m

#### **DONNÉES**

Zone de vent : zone III  $(V_{réf}) = 31 \text{ m/s}$ , (cf. tableau 1.1)

Pression de référence q<sub>réf</sub> = 475 N/m<sup>2</sup> (cf. chapitre 2 § 2.3.1)

Puisque il s'agit d'un ouvrage d'une durée de vie inférieure à 5 ans, une réduction de 28 % est appliquée sur la pression de référence (cf. §2.3.1).

D'où :  $q_{réf} = 414 \text{ N/m}^2$ 

Catégorie de terrain : (cf. chapitre 2 § 2.4.3)

Catégorie de terrain		<b>Z</b> 0	Zmin	3
(III) Zone à végétation basse telle que l'herbe, avec ou non quelques obstacles isolés (arbres, bâtiments) séparés les uns des autres d'au moins 20 fois leur hauteur.	0.215	0.3	5	0.61

Tableau 23 : Paramètres du terrain

#### PARAMÈTRES DE CALCUL

Hauteur de référence z<sub>e</sub> : (cf. chapitre 2 § 2.3.2)

Il s'agit d'un ouvrage autre que ceux cités en 2.3.2, par conséquent la hauteur de référence est prise égale à la hauteur max :  $(z_e = 24+2+5) = 31 \text{ m}$ .

$$z_e = 31 \text{ m}$$

Coefficient de rugosité (cf. chapitre 2 § 2.4.4)

Creating derivative (c). Chapter 2 § 2.4.4)
$$\begin{cases}
C_r(z) = K_T \times Ln\left(\frac{z}{z_0}\right) & \text{pour } z_{\min} \le z \le 200\text{m} \\
C_r(z) = K_T \times Ln\left(\frac{z_{\min}}{z_0}\right) & \text{pour } z < z_{\min}
\end{cases} \tag{2.3}$$

On obtient les valeurs suivantes :  $C_r(z = 31m) = 0.99$ 

Coefficient de topographie (cf.  $\S 2.4.5$ )

Pour un site plat le coefficient de topographie à prendre en compte est :  $C_t(z) = 1$ 

Intensité de turbulence

$$\begin{cases} I_{v}(z) = \frac{1}{C_{t}(z) \times Ln(\frac{z}{z_{0}})} & pour \ z > z_{\min} \\ \\ I_{v}(z) = \frac{1}{C_{t}(z) \times Ln(\frac{z_{\min}}{z_{0}})} & pour \ z \leq z_{\min} \end{cases}$$

$$I_{\nu}(z=31m)=0.215$$

Coefficient d'exposition

$$C_e(z) = 2.47$$
 (cf. tableau 2.3)

#### Pression dynamique de pointe

La pression dynamique de pointe est déterminée par  $(cf. \S 2.3)$ :

$$q_p(z_e) = q_{ref} \times C_e(z)$$

Avec  $q_{r\acute{e}f} = 414 \text{ N/m}^2$ 

Les valeurs de  $q_p(z_e)$  sont données dans le tableau 24.

#### Tableau récapitulatif

z <sub>e</sub> [m]	Cr	z/L	Ct(Ze)	$I_{\nu}(z)$	Ce(ze)	$q_p(z_e) [N/m^2]$
31	0.99	0,067	1.0	0,215	2.47	1023

Tableau 24 : Récapitulatif

#### CAS DE CHARGES À CONSIDÉRÉS

(cf. 5.5.2)

Les deux cas de charges suivants (pour z<sub>g</sub>>0) sont considérés :

- Cas A: la résultante des forces agit perpendiculairement au mur en passant par son centre de gravité;
- Cas B: la résultante des forces agit perpendiculairement au mur avec une excentricité horizontale du coté au vent e = 0.2.L = 0.2x10 = 2m.

#### Note

Le cas de charge (Cas C, pour L/h > 2) n'est pas considéré (L/h = 10/5 = 2)

#### COEFFICIENT DE PRESSION

Le coefficient de pression Cpnet est déterminé en fonction des paramètres L/h et

$$\frac{z_g}{z_g + h}$$
 (cf. tableau 5.1)

$$\frac{L}{h} = \frac{10}{5} = 2$$

$$\frac{z_g}{z_n + h} = \frac{2}{2 + 5} = 0.286 \approx 3$$
D'où: C<sub>pnet</sub>=

#### **COEFFICIENT DYNAMIQUE**

Le coefficient C<sub>d</sub> est calculé de la manière décrite dans le DTR (cf. chapitre 3), en tenant compte de la géométrie du panneau supposé fixée sur la toiture.

En particulier la hauteur de référence est prise égale à :

$$z_e = z_g + \frac{h}{2}$$
 (cf. fig. 3.1 cas c)

La fréquence propre de vibration dans la direction du vent est calculée par une méthode appropriée. (Analytique en pendule inverse ou numérique)

Dans le présent cas on suppose que  $C_d = 1$ .

#### CALCUL DE LA PRESSION AÉRODYNAMIQUE (cf. § 2.5.2)

La pression aérodynamique est donnée par :

$$W(z_j) = q_p(z_e) \times C_{p,net}$$
 [N/m<sup>2</sup>] (cf. eq 2.7)  
 $W(z_j) = 1023 \times 1.6$  **W(z<sub>j</sub>) = 1637 [N/m<sup>2</sup>]**

#### CAS D'UN CHATEAU D'EAU

#### **OBJECTIFS**

On se propose de déterminer dans cet exemple les actions du vent sur un château d'eau dont la géométrie est donnée par la figure 7.

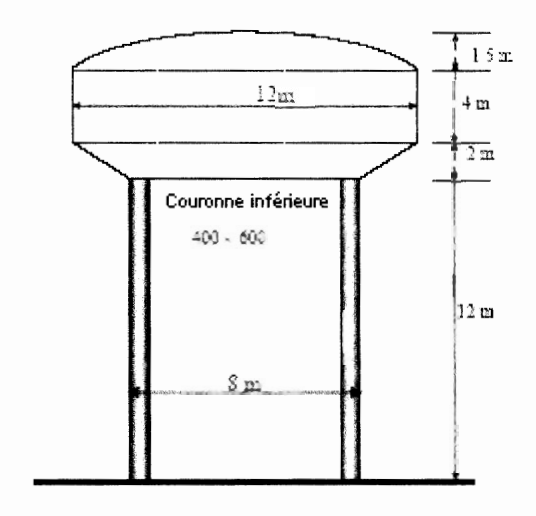


Figure 7 : Géométrie du château d'eau

#### GÉOMÉTRIE

Épaisseur des parois :

20 cm;

Épaisseur de la dalle de couverture : 12 cm.

#### **DONNÉES**

Zone de vent : zone III ( $V_{réf}$ ) = 31 m/s, (cf. tableau 1.1);

 $q_{réf} = 575 \text{ N/m}^2 \text{ (cf. chapitre 2 § 2.3.1) };$ 

Catégorie de terrain (cf. chapitre 2 § 2.4.3).

Catégorie de terrain	Κτ	<b>Z</b> 0	Zmin	3
(III)  Zone à couverture végétale régulière ou des bâtiments, ou avec des obstacles isolés séparés d'au plus 20 fois leur hauteur (par exemple des villages,	0.215	0.3	5	0.61
des zones suburbaines, des forêts permanentes).				

Tableau 25 : Paramètres du terrain

#### PARAMÈTRES DE CALCUL

#### Hauteur de référence z<sub>e</sub> (cf. chapitre 2 § 2.3.2)

La hauteur totale de l'ouvrage est découpée en plusieurs tronçons dont la hauteur de référence  $(z_e)$  de chaque tronçon correspond à sa hauteur max.

Le découpage des éléments a été fait en considérant les 04 tronçons suivants :

- Tronçon 1 : de 0 à 5m (pour délimiter la zone où  $z < z_{min}$ );
- Tronçon 2 : de 5 à 10m (jusqu'à 10m on peut supposer que la pression du vent est uniforme) ;
- Tronçon 3 : de 10 à 12m correspondant à la fin de la section cylindrique ;
- Tronçon 4 : de 12 à 14m correspondant à la fin de la section tronconique ;
- Tronçon 5 : de 14 à 18 m correspondant à la fin de la section cylindrique de la cuve.

#### Coefficient de rugosité (d

$$\begin{cases} C_r(z) = K_T \times Ln\left(\frac{z}{z_0}\right) & \text{pour} \quad z_{\min} \le z \le 200 \text{m} \\ \\ C_r(z) = K_T \times Ln\left(\frac{z_{\min}}{z_0}\right) & \text{pour} \quad z < z_{\min} \end{cases}$$

On obtient les valeurs suivantes :

Tronçon	z <sub>e</sub> (m)	C <sub>r</sub> (z)
de 0 à 5 m	5	0.605
de 5 à 10 m	10	0.754
de 10 à 12m	12	0.793
de 12 à 14 m	14	0.826
de 14 à 18m	18	0.880

Tableau 26 : Valeurs de  $C_r(z)$ 

#### Coefficient de topographie

L'ouvrage est situé sur un terrain de pente inférieur à 0.05, par conséquent Ct(z) = 1.

#### Intensité de turbulence (cf.

$$\begin{cases} I_{v}(z) = \frac{1}{C_{t}(z) \times Ln(\frac{z}{z_{0}})} & pour \ z > z_{\min} \\ I_{v}(z) = \frac{1}{C_{t}(z) \times Ln(\frac{z_{\min}}{z_{0}})} & pour \ z \leq z_{\min} \end{cases}$$

Tronçon	z <sub>e</sub> (m)	$I_{v}(z)$
de 0 à 5 m	5	0.355
de 5 à 10 m	10	0.285
de 10 à 12m	12	0.271
de 12 à 14 m	14	0.260
de 14 à 18m	18	0.244

Tableau 27 : Valeurs de  $I_v(z)$ 

Coefficient d'exposition :  $(cf. \S 2.4)$ 

$$C_{e}(z) = C_{t}^{2}(z) \times C_{r}^{2}(z) \times [1+7I_{v}(z)]$$

Tronçon	z <sub>e</sub> (m)	$C_e(z_e)$
de 0 à 5 m	5	1.276
de 5 à 10 m	10	1.703
de 10 à 12m	12	1.823
de 12 à 14 m	14	1.926
de 14 à 18m	18	2.100

Tableau 28 : Valeurs de  $C_e(z)$ 

#### Pression dynamique de pointe

La pression dynamique de pointe est déterminée par  $(cf. \S 2.3)$ :

$$q_p(z_e) = q_{ref} \times C_e(z)$$

Avec  $q_{ref} = 575 \text{ N/m}^2$ 

Les valeurs de  $q_n(z_n)$  sont données dans le tableau 29 pour chaque tronçon du bâtiment.

Tronçon	z <sub>e</sub> [m]	Cr	z/L	$C_t(z_e)$	$I_{v}(z)$	C <sub>e</sub> (z <sub>e</sub> )	$q_p(z_e) [N/m^2]$
de 0 à 5 m	5	0.605	0,605		0.355	1.276	734
de 5 à 10 m	10	0.754	0,754		0.285	1.703	979
de 10 à 12m	12	0.793	0.793	1.00	0.271	1.823	1048
de 12 à 14 m	14	0.826			0.260	1.926	1107
de 14 à 18m	18	0.880			0.244	2.100	1208

Tableau 29 : Valeurs de  $q_p(z)$ 

#### COEFFICIENT DYNAMIQUE C<sub>d</sub>

(cf. chapitre 3)

#### Hauteur équivalente

Pour le calcul de  $C_d$ , la hauteur équivalente est prise égale à :  $z_{eq} = 0.6h$  (cf. § 3.3 fig. 3.1).

$$z_{eq} = 0.6 \times 19.5 = 11.7 m$$

#### Fréquence fondamentale

On détermine les propriétés d'un système mécanique masse-ressort équivalent :

Masse de la cuve+ 1/3 de la masse du fût : (57.64+60.29/3)x2500 = 193442 kg

Rigidité latérale du support : k

 $k = \frac{3EI}{I^3}$ 

Avec:

• E : module de Young E = 11000 MPa

• I: Inertie de la section  $I = \frac{\pi \times (D_e^4 - D_i^4)}{64} = 37.30 \,\mathrm{m}^4$ 

• l est la hauteur du support l = 12 m;

Par conséquent : 
$$k = \frac{3 \times 11000 \times 10^6 \times 37.30}{12^3} = 712 \times 10^6 \ N/m$$

La fréquence fondamentale est donc :

$$n_{1,x} = \frac{1}{2\pi} \sqrt{\frac{k}{m}} = \frac{1}{2\pi} \sqrt{\frac{712 \times 10^6}{193442}} = 9.65 \, Hz$$

Échelle de turbulence (cf. §3.3.1 formule 3.3)

$$L_i(z_{eq}) = 300 \times \left(\frac{z}{200}\right)^{\varepsilon} = 300 \times \left(\frac{11.7}{200}\right)^{0.61} = 53.1$$

Partie quasi-statique (cf. § 3.3.1 formule 3.2)

$$Q^{2} = \frac{1}{1+0.9 \times \left(\frac{(b+h)}{Li(z_{eq})}\right)^{0.63}} = \frac{1}{1+0.9 \times \left(\frac{(8+19.5)}{53.1}\right)^{0.63}} = 0.627$$

Vitesse moyenne (cf. Annexe 2)

$$V_m(z) = C_r(z) \times C_t(z) \times V_{ref} = 0.88 \times 1.00 \times 31 = 27.28$$

Fréquence adimensionnelle (cf. § 3.3.2 formule 3.6)

$$N_x = \frac{n_{1,x} \times Li(z_{eq})}{V_m(z_{eq})} = \frac{9.65 \times 53.1}{27.28} = 18.78$$

Densité spectrale de puissance (cf. § 3.3.2 formule 3.5)

$$R_N = \frac{6.8 \times N_x}{(1+10.2 \times N_x)^{\frac{5}{3}}} = \frac{6.8 \times 18.78}{(1+10.2 \times 18.78)^{\frac{5}{3}}} = 0.02$$

Admittances aérodynamiques (cf. §3.3.2 formule 3.7)

$$\eta_h = \frac{4.6 \times N_x \times h}{Li(z_{eq})} = \frac{4.6 \times 18.78 \times 19.5}{53.1} = 31.72$$
d'où:  $R_h = 0.031$ 

$$\eta_b = \frac{4.6 \times N_x \times b}{Li(z_{eq})} = \frac{4.6 \times 18.78 \times 8}{53.1} = 13.01$$
 d'où:  $R_b = 0.073$ 

Décrément logarithmique d'amortissement (cf. eq. 3.9)

$$\delta = \delta_s + \delta_a$$

avec:

$$\delta_s = 0.03$$
 (cf. tableau 3.1)

$$\delta_a = 0$$

D'où :  $\delta = 0.03$ 

Partie résonante (cf. § 3.3.2 formule 3.4)

$$R^{2} = \frac{\Pi^{2}}{2 \times \delta} \times R_{N} \times R_{h} \times R_{b} = \frac{\Pi^{2}}{2 \times 0.03} \times 0.02 \times R_{h} \times R_{b} = 0.007$$

Fréquence moyenne

e moyenne (cf. § 3.3.3 formule 3.11) 
$$v = n_{1,x} \times \sqrt{\frac{R^2}{Q^2 + R^2}} \ge 0.08 \qquad v = 9.65 \times \sqrt{\frac{0.007}{0.627 + 0.007}} = 1.01 \,\text{Hz}$$

Facteur de pointe (cf. § 3.3.3 formule 3.10)

$$g = \sqrt{2 \times Ln(600 \times \nu)} + \frac{0.6}{\sqrt{2 \times Ln(600 \times \nu)}} \ge 3$$
  $g = 3.767$ 

Intensité de turbulence (cf. § 2.4.6 eq. 2.5)

$$I_{v}(z) = \frac{1}{C_{t}(z) \times Ln(\frac{z}{z_{0}})} \quad pour \ z > z_{min}$$

$$I_{v}(z) = 0.273$$

Coefficient dynamique (cf. §.3.3 formule 3.1)

$$C_d = \frac{1 + 2 \times g \times I_v(z_{eq}) \times \sqrt{Q^2 + R^2}}{1 + 7 \times I_v(z_{eq})}$$

$$C_d = 0.91$$

#### **ACTIONS SUR LA COUVERTURE**

(cf. § 5.1.12)

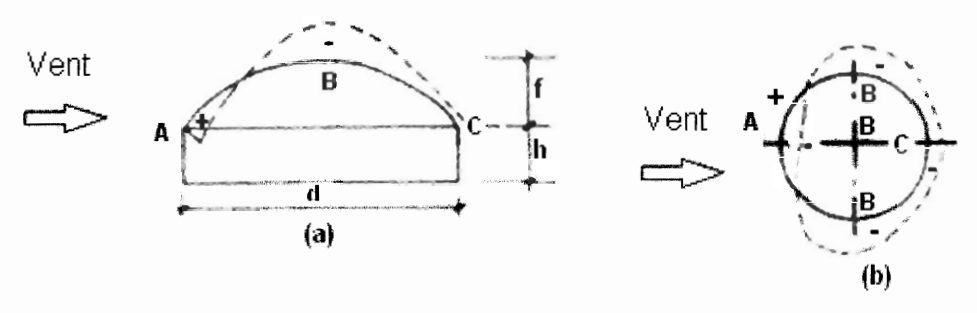


Figure 8 : Action du vent sur la couverture

On a:

d = 12 m; h = 18 m; f = 1.5 m

 $\bullet h/d = 18/12 = 1.5$ ;

• f/d = 1.5/12 = 0.125.

On obtient les coefficients de force suivants pour les points A, B et C:

	Courbe utilisée	Cpe
Point A	<b>A</b> (h/d )≥ 1	-1.65
Point B	<b>B</b> (h/d ≥) 0.5	-0.85
Point C	<b>C</b> $(h/d \ge 0.5)$	-0.5

Tableau 30 : Récapitulatif

ACTIONS LATÉRALES

(cf.  $\S 4.4$ )

#### Coefficient de force pour élancement infinie C<sub>f0</sub>

	$b \times \sqrt{q_p}$	$C_{f0}$
Fût	$= 8 \times \sqrt{575} = 192$	0.85
Partie tronconique	$= (\frac{8+12}{2}) \times \sqrt{575} = 240$	0.85
Partie cylindrique	$=12 \times \sqrt{575} = 288$	0.85

Tableau 31 : Récapitulatif

#### Correction pour élancement finie

Correction obstruction :  $\varphi = 1$  (Cf. 4.1.1)

Élancement effectif :=  $Min(70; \frac{L}{l}) = Min(70; \frac{12}{8}) = 1.5$ 

D'où :  $\psi_{\lambda} = 0.98$ 

Le coefficient de force est donc :

$$C_f = 0.98 \times 0.85$$
  $C_f = 0.833$ 

**ACTIONS D'ENSEMBLE** 

(cf. § 2.6.1)

L'aire cde référence de chaque tronçon est donnée par :

$$A_{ref} = b \times l$$

Avec : *l* la hauteur de chaque élément et *b* le diamètre.

Les forces par ml de chaque tronçon sont données par :

Tronçon	B [m]	Cf	$q_p(z_e)$ $[N/m^2]$	$F_w = C_d \times C_f \times q_p(z_e)$ [N/ml]
de 0 à 5 m	8	0.833	734	4451
de 5 à 10 m	8	0.833	979	5937
de 10 à 12m	8	0.833	1048	6355
de 12 à 14 m	10	0.833	1107	8391
de 14 à 18m	12	0.833	1208	10988

Tableau 32: Actions d'ensemble

### NOTE: DÉTERMINATION DES ACTIONS À PARTIR DES COEFFICIENTS DE PRESSION

Les pressions sur les parois du réservoir peuvent également être déterminées en utilisant la méthode des coefficients de pression (cf. § 5.1.11).

Les coefficients C<sub>pe</sub> sont donnés par :

$$\begin{cases} C_{p,e} = C_{p,o} & \text{pour } 0^{\circ} \leq \alpha \leq \alpha_{\min} \\ C_{p,e} = C_{p,o} \times \left[ \psi_{\lambda} + (1 - \psi_{\lambda}) \cdot \cos \left( \frac{\pi}{2} \cdot \left( \frac{\alpha - \alpha_{\min}}{\alpha_{A} - \alpha_{\min}} \right) \right) \right] & \text{pour } \alpha_{\min} \leq \alpha < \alpha_{A} \\ C_{p,e} = C_{p,o} \times \psi_{\lambda} & \text{pour } \alpha_{A} \leq \alpha \leq 180 \end{cases}$$

où:

- C<sub>p,0</sub> est le coefficient de pression extérieure pour un élancement infini (cf. figure 5.12;)
- $\alpha_A = 130^{\circ}$  (cf. figure 5.12);
- $\alpha_{min} = 75^{\circ}$  (cf. figure 5.12);
- $\psi_{\lambda}$  est le facteur d'élancement  $\psi_{\lambda} = 0.98$  (calculé plus haut).

On obtient les valeurs suivantes de C<sub>p0</sub>.

Angle α [°]	C <sub>p0</sub>	C <sub>p</sub>	Angle α	C <sub>p0</sub>	C <sub>p</sub>	Angle α	Cpo	C <sub>p</sub>
0	1	1	75	-1.5	-1.5	130	-0.8	-0.78
10	0.8	0.8	80	-1.5	-1.77	135	-0.8	-0.78
20	0.5	0.5	85	-1.45	-1.70	140	-0.8	-0.78
30	0.1	0.1	90	-1.35	-1.57	150	-0.8	-0.78
40	-0.4	-0.4	100	-1	-1.13	160	-0.8	-0.78
50	-0.8	-0.8	105	-0.8	-0.89	170	-0.8	-0.78
60	-1.2	-1.2	110	-0.8	-0.87	180	-0.8	-0.78
70	-1.45	-1.45	120	-0.8	-0.83			

Tableau 33 : Récapitulatif



#### CAS D'UNE STRUCTURE DE PYLONE

### **OBJECTIFS**

Cet exemple a pour objectif la détermination des actions du vent sur une structure en treillis de type pylône, de section carrée et ayant les caractéristiques suivantes :

- Largeur à la base : 3.4 m;
- Largeur au sommet: 1.5 m;
- Hauteur hors sol: 30 m;
- Parabole : diamètre 1.8 m ave radome positionnée à 29 m à partir du sol ;
- La structure est composée principalement de cornières ;
- Une échelle à câble de 40 cm de largeur installée à l'intérieur du pylône de manière symétrique perpendiculaire à une face ;
- Un chemin de câble de largeur 10 cm considéré opaque.

# GÉOMÉTRIE DE L'OUVRAGE

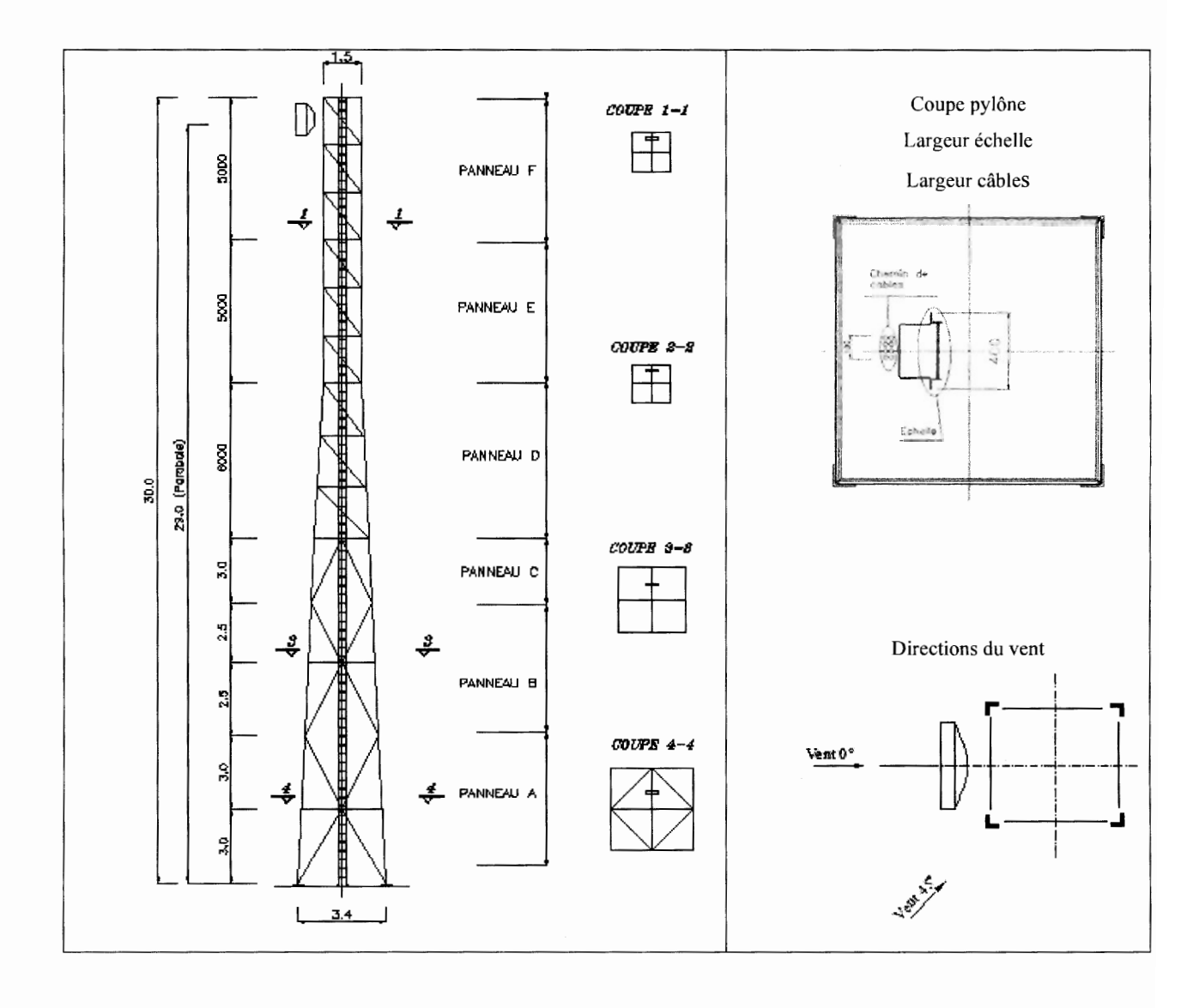


Figure 8 : Structure en treillis de type pylône

## LOCALISATION DE L'OUVRAGE

L'ouvrage est situé au sommet d'une colline.

- Zone de vent : zone I

- Vitesse de référence du vent : zone I ( $V_{r\acute{e}f}$ =25m/s) (cf. tableau A.1.1)

- Pression de référence : (q<sub>réf</sub>=375 N/m<sup>2</sup>) (cf. tableau 2.2)

Catégorie de terrain : II, d'où :

Catégories de terrain		<b>z</b> o [ <b>m</b> ]	Z <sub>min</sub> [m]	3
Zone à végétation basse telle que l'herbe, avec ou non quelques obstacles isolés (arbres, bâtiments) séparés les uns des autres d'au moins 20 fois leur hauteur.	0,190	0,05	2	0,52

Tableau 34 : Récapitulatif

## PARAMÈTRES DE CALCUL

## DÉCOUPAGE EN TRONÇONS DU PYLÔNE

Pour les besoins d'optimisation de calcul des pressions sur l'ouvrage, celui-ci est décomposé en plusieurs tronçons (éléments) où la pression sera calculée à la hauteur max de chaque tronçon.

## **DÉFINITION DU TYPE DE CONSTRUCTION** (cf. figure 3.1)

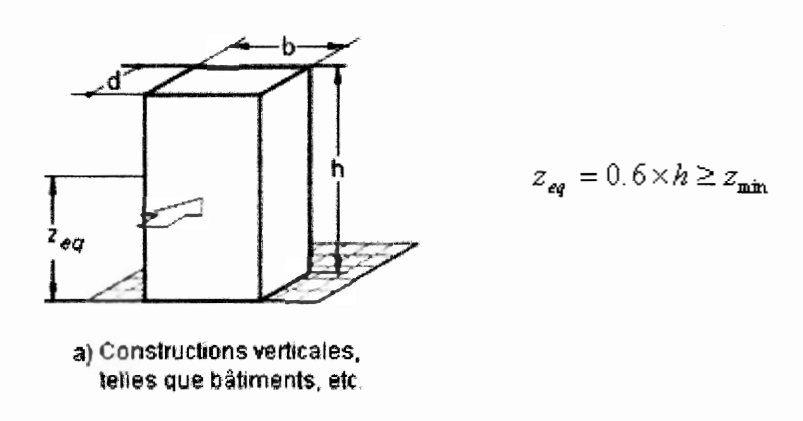


Figure 9: Type de construction

## Hauteur équivalente zeq

$$z_{eq} = 0.6 \times 30 = 18 \text{m}$$

## VITESSE MOYENNE (ANNEXE 2)

$$V_m(z) = C_r(z) \times C_t(z) \times V_{r\acute{e}f} \qquad [m/s] \quad (A2.1)$$

## **COEFFICIENT D'EXPOSITION** (cf. chapitre 2.4)

$$C_e(z) = C_r^2(z) \times C_r^2(z) \times [1+7I_v(z)]$$
 (cf. eq. 2.2)

Où:

$$I_{v}(z) = \frac{1}{C_{t}(z) \times Ln(\frac{z}{z_{0}})} \quad pour \ z > z_{min}$$

## COEFFICIENT DE RUGOSITÉ (cf. § 2.4.4)

$$C_r(z) = K_T \times Ln\left(\frac{z}{z_0}\right)$$
 pour  $z_{\min} \le z \le 200$ m

 $K_T$ ,  $z_0$ ,  $z_{min}$ ,  $\epsilon$ , sont donnés par le tableau 34.

## COEFFICIENT DE TOPOGRAPHIE

(cf. § 2.4.5)

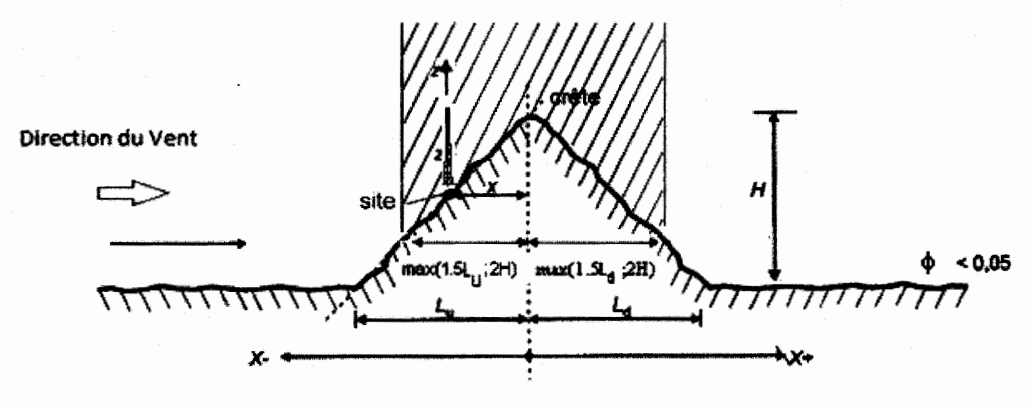


Figure 10 : Topographie du site de l'ouvrage

On a:

$$C_{t}(z) = 1 + s_{max} \times \left(1 - \frac{|x|}{k_{red} \times L}\right) \times e^{-\alpha z/L} \quad \text{pour} \quad \phi \ge 0.05$$

Avec:

-  $\phi$  est la pente du versant au vent

-H = 300 m;

-Lu = 1000m;

 $-L = \max(0.5Lu; 2H) = \max(0.5x1000; 2x300)$  D'où: L = 600m

On vérifie bien que  $\phi = \frac{H}{L_n} = 300/600 = 0.5 > 0.05$ 

-X = 0 m:

- z (en m) est la distance verticale mesurée à partir du niveau du sol au lieu considéré. Une valeur conservative de z est prise égale à la hauteur du c.d.g de chaque tronçon ;
- $S_{max}$ ,  $\alpha$  et  $k_{red}$  sont des coefficients donnés dans le tableau 35 en fonction de la forme de l'obstacle et du rapport H/L.

Forme de l'obstacle	Smax	α	k,	red
Torne de l'obstacle	Sinax	•	x < 0	x > 0
Collines	$2,2 \times H/L = 2,2 \times 300/600 = 1.1$		1,5	1,5

Tableau 35 : Paramètres relatifs à la détermination de  $C_t(z)$ 

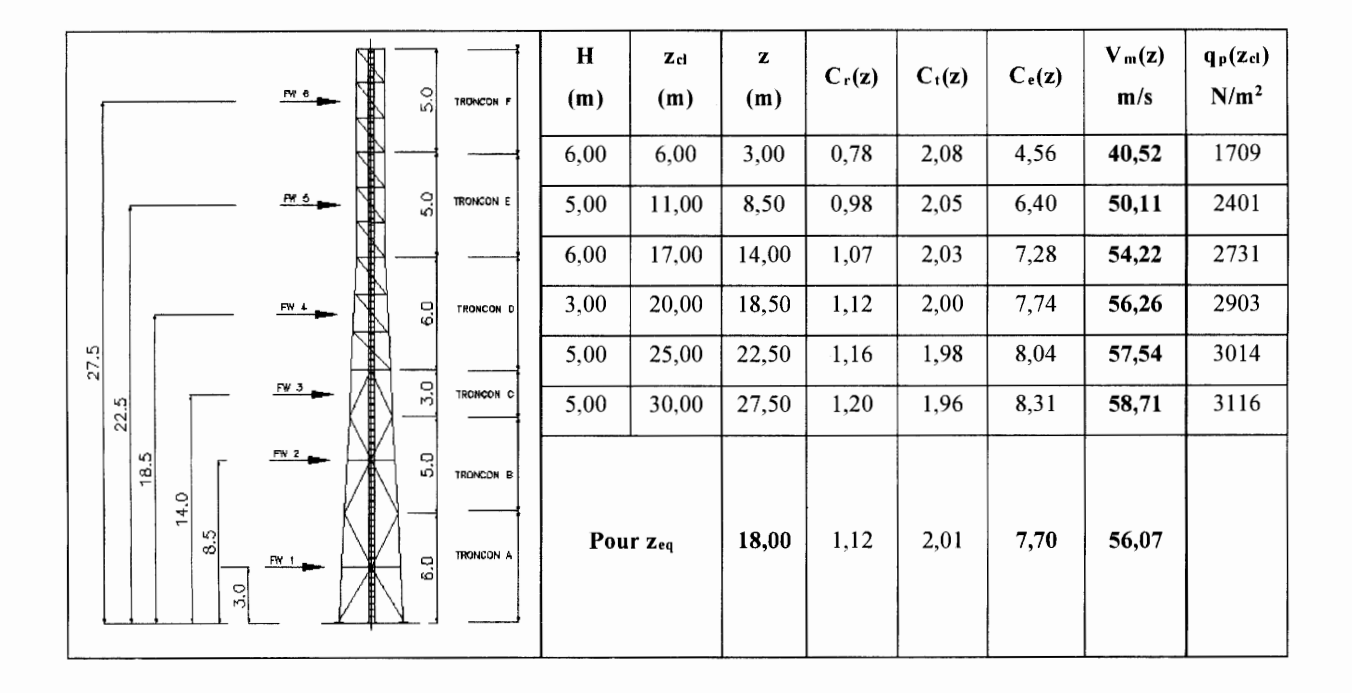


Tableau 36 : Récapitulatif

## Avec:

H: hauteur du panneau;

zel: Hauteur du niveau supérieur du panneau;

z : hauteur au cdg du panneau ;

 $V_m(z_{eq}) = C_r(z_{eq}) \times C_t(z_{eq}) \times V_{réf}$ : Vitesse moyenne

 $q_p(z_{zcl}) = q_{ref} \times C_e(z)$ : Pression dynamique de pointe

## COEFFICIENT DE FORCE C<sub>f</sub>

Le coefficient de force  $C_f$  des constructions soumises à un vent perpendiculaire à l'une de leurs faces est donné par :  $C_f = C_{f,0} \times \psi_{\lambda}$  (4.1)

Où:

-  $C_{f,0}$  est le coefficient de force des constructions en considérant un élancement effectif infini;

 $C_{f,\theta}$  est donné par en fonction du taux de remplissage  $\varphi$ ,

 $\psi_{\lambda}$  est le facteur d'élancement défini en § 4.1.1.

## CALCUL DU COEFFICIENT DE REMPLISSAGE (cf. § 4.1.1)

Le coefficient de remplissage est défini par :  $\varphi = \frac{A}{A_c}$ 

#### Avec:

A: Est la somme des éléments et des goussets d'assemblage de la face projetée dans le plan de cette face, perpendiculaire à ce plan :  $A = \sum_{i} b_i J_i + \sum_{k} A_{gk}$ 

 $A_c$ : Est la surface totale circonscrite par les limites périphériques de la face, en projection normale à cette dernière.

Dans ce qui suit, les étapes de calcul du coefficient de remplissage du tronçon 1 sont données par le tableau 37. Pour les autres tronçons, seules les valeurs sont données par le tableau 40.

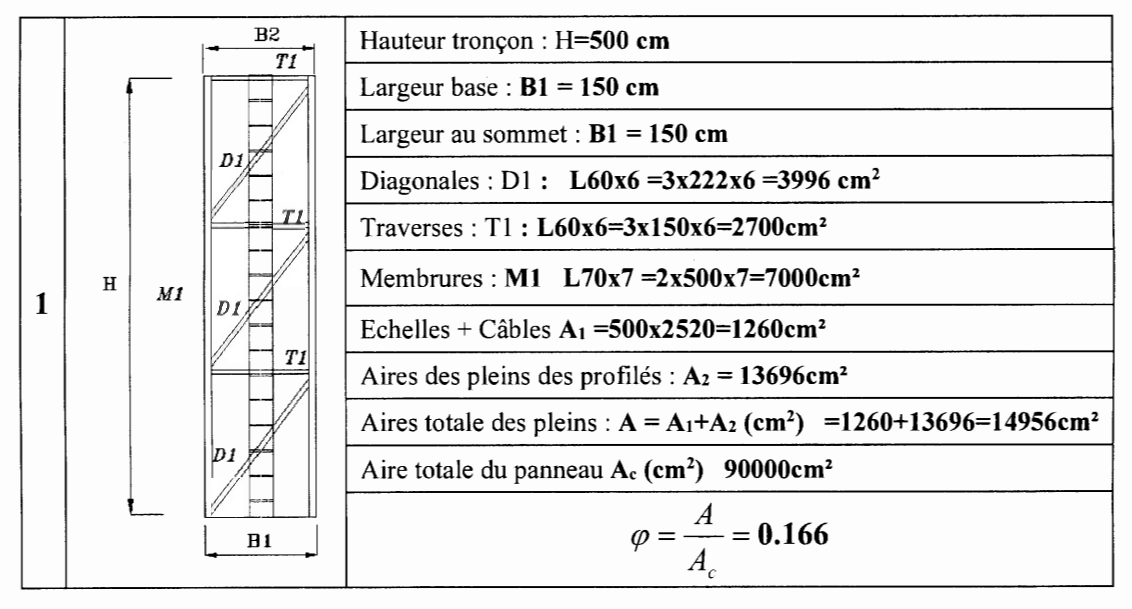


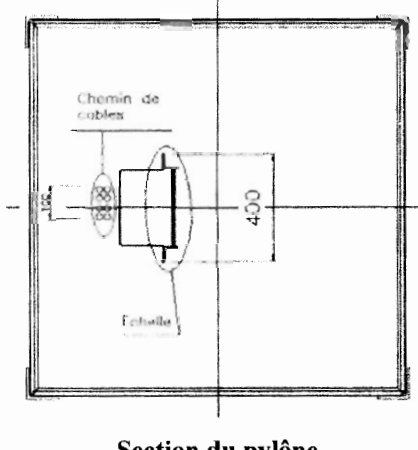
Tableau 37 : Détail de calcul du coefficient de remplissage du tronçon l

## COEFFICIENT DE FORCE $C_{f,0}$ (cf. §4.5.2)

Coefficient  $C_{f0}$  en fonction de la direction du vent

Direction vent	$Cf_o$					
Vent normal à une face						
-□	$4.0\varphi^{2}$ - $5.9\varphi$ + $4$	Cf. tableau 4.5				
Vent bissectrice	$(4.0\varphi^2-5.9\varphi+4) \times (1+0.75\varphi)$	Cf. note tableau 4.5				
d	Avec: $(1 + 0.75\varphi) \le 1.2$	ej. note tableau 4.5				

Tableau 38 : Coefficients de forces d'une structure en treillis spatial



Section du pylône

Figure 11 : Surface de l'échelle et du chemin de câble pour 01 mètre linéaire

L'échelle est composée de 02 montants en cornières à ailes égales de 60x60x6, et de rond de diamètre 20mm espacés de 25cm

D'où la surface pour un tronçon de 1m d'échelle ????????

Cette surface sera additionnée aux surfaces des éléments plein des tronçons composant le pylône.

	Longueur	largeur	Surface
Montants	100	6	$=2x (100x6)=1200cm^2$
Marches	40	2	$=4x (40x2)=320mm^2$
Chemin de câbles	100	10	$=100 \times 10 = 1000 \text{cm}^2$
Surface totale pour	un tronçon o	$= 1200 + 320 + 1000 = 2520 \text{cm}^2$	

Tableau 39 : Surface des membrures

Les valeurs des coefficients de force, des différents tronçons sont donnés par le tableau 40.

$$\lambda_e = \frac{L}{h}$$

N° du Tronçon	$\varphi = \frac{A}{A_c}$	<i>C</i> <sub>fo</sub> →	C <sub>f45</sub> → <b>C</b>
1	0,166	3,13	3,52
2	0,166	3,13	3,52
3	0,179	3,07	3,48
4	0,188	3,03	3,46
5	0,199	2,98	3,43
6	0,159	3,16	3,54

Tableau 40 : Surfaces des membrures

# ÉLANCEMENT EFFECTIF $\lambda_{\rm E}$ ET FACTEUR D'EFFET D'EXTRÉMITÉS $\psi_{\lambda}$ (cf. chapitre 4.1.2.1)

L: Hauteur de la structure L=30m;

b: Largeur moyenne de la structure  $b = \frac{b1+b2}{2} = \frac{1.5+3.4}{2} = 2.45m$ ;

$$\lambda_e = \frac{30}{2.45} = 12.24$$
;

# FACTEUR D'EFFET D'EXTRÉMITÉ $\psi_{\lambda}$ (Cf. fig. 4.1)

Le taux de remplissage  $\varphi$  de toute la structure du pylône

$$\varphi = \frac{117472}{670003} = 0.18$$
 D'où  $\psi_{\lambda} = 0.97$ 

## COEFFICIENT DE FORCE SUR LA STRUCTURE DU PYLÔNE

Le coefficient de force  $C_f = C_{f_a} \times \psi_{\lambda}$ 

	C	$f_{o}$	$C_f = C_{f_0} \times \psi_{\lambda}$			
Tronçon	vent normal	vent suivant	vent normal	vent suivant		
	à une face	la diagonale	à une face	la diagonale		
1	3,13	3,52	3,04	3,41		
2	3,13	3,52	3,04	3,41		
3	3,07	3,48	2,98	3,38		
4	3,03	3,46	2,94	3,36		
5	2,98	3,43	2,89	3,33		
6	3,16	3,54	3.06	3.43		
Coefficient global 3.07		3.48				

Tableau 41 : Coefficients de force

## DÉTERMINATION DU COEFFICIENT DYNAMIQUE Cd

#### Formule générale

$$C_d = \frac{1 + 2 \times g \times I_v(z_{eq}) \times \sqrt{Q^2 + R^2}}{1 + 7 \times I_v(z_{eq})}$$
(3.1)

Où:

- z<sub>eq</sub> (en m) est la hauteur équivalente de la construction (cf. fig. 3.1);
- $I_v(z_{eq})$  est l'intensité de la turbulence pour  $z = z_{eq}$  (cf. § 2.4.6).

Les différents paramètres de calcul sont :

#### Échelle de turbulence

$$L_i(zeq) = 300 \times \left(\frac{z}{200}\right)^{\varepsilon}; \qquad L_i(zeq) = 85.8$$

#### Intensité de de turbulence

$$I_{v}(z_{eq}) = \frac{1}{C_{t}(z) \times Ln(\frac{z}{z_{0}})} \quad pour \quad z > z_{min}$$

$$Pour \quad z_{min} \le z \le 200m \quad (cf. \ 2.5.a \ et \ 2.5.b)$$

$$C_{t}(z_{eq}) = 2.01 \quad (cf. \ tableau \ 36) \ ; \qquad D'où : I_{v}(zeq) = 0.085$$

## Fréquence fondamentale (cf. § 3.3.4.)

La fréquence fondamentale de flexion  $n_{1,x}$  dans la direction x du vent peut être évaluée au moyen de toute méthode d'analyse structurale pourvue qu'elle soit convenablement justifiée.

La fréquence fondamentale pour le cas présent a été déterminée par un calcul de valeurs propres et elle est égale à :  $n_{l,x}$ = 3.8 Hz

Vitesse moyenne (cf. § Annexe II)

$$V_m$$
 (z<sub>eq</sub>)=  $C_r$  (z<sub>eq</sub>) x  $C_r$  (z<sub>eq</sub>) x  $V_{réf}$ =1.12 x 2.01 x 25 =56.07 m/s

#### Fréquence adimensionnelle

$$N_x = \frac{n_{1,x} \times L_i(z_{eq})}{V_m(z_{eq})} = \frac{3.8 \times 85.8}{56.28} = 5.81 \text{ Hz}$$

## Partie quasi-statique Q2

- Q<sup>2</sup> est la partie quasi-statique donnée par : 
$$Q^2 = \frac{1}{1+0.9 \times \left(\frac{(b+h)}{L_i(z_{eq})}\right)^{0.63}}$$

$$Q^2 = \frac{1}{1+0.9 \times \left(\frac{(2.45+30)}{85.8}\right)^{0.63}} = 0.67$$

#### Fonction adimensionnelle R<sub>N</sub>

$$R_N = \frac{6.8 \times N_x}{(1+10.2 \times N_x)^{\frac{5}{3}}} = \frac{6.8 \times 5.81}{(1+10.2 \times 5.81)^{\frac{5}{3}}} = 0.044$$

#### Fonctions d'admittance aérodynamique Rh et Rb

$$\eta_h = \frac{4,6 \times N_x \times h}{L_i(z_{eq})} = \frac{4,6 \times 5.81 \times 30}{85.8} = 9.35 ;$$

$$\eta_b = \frac{4,6 \times N_x \times h}{L_i(z_{eq})} = \frac{4,6 \times 5.81 \times 2.45}{85.8} = 0.76$$

$$R_h = \left(\frac{1}{\eta_h}\right) - \left(\frac{1}{2x\eta_h^2}\right) x \left(1 - e^{-2x\eta_h}\right) = 0.10$$

$$R_b = \left(\frac{1}{\eta_h}\right) - \left(\frac{1}{2x\eta_h^2}\right) x \left(1 - e^{-2x\eta_h}\right) = 0.64$$

## Décrément logarithmique δ

$$\delta = \delta_s + \delta$$

Avec:

-  $\delta_s$  est le décrément logarithmique d'amortissement structural (tableau 3.1) :

$$\delta_s = 0.05$$
 (cf. tableau 3.1)

-  $\delta_a$  est le décrément logarithmique d'amortissement aérodynamique pris égal à 0, excepté le cas des structures en treillis pour lesquelles  $\delta_a$  est donné par

$$\delta_a = \frac{\rho \times b \times C_f}{2 \times m_1} \times V_m(z_{eq}) \tag{§3.10}$$

A défaut de calcul plus précis utilisant la formule (A3.6), La valeur de  $m_1$ , calculée comme étant la masse moyenne par unité de longueur du tiers supérieur du pylône. (Voir commentaire § 6.3.2) :

Avec:

- $\rho$  (en kg/m<sup>3</sup>) est la masse volumique de l'air ( $\rho = 1,20 \text{ kg/m}^3$ );
- b (en m) est la dimension de la construction perpendiculaire au vent ;
- Cf est le coefficient de force (cf. chapitre 4);
- $n_{1,x}$  (en Hz) est la fréquence propre du mode fondamental dans la direction x du vent (Cf. § 3.3.4);
- $m_1$ : (en kg/m) est la masse équivalente pour le mode fondamental et dans la direction x du vent (cf. annexe 3, § 6.3.2);
- $V_m(z_{eq})$  (en m/s) est la vitesse moyenne du vent (cf. annexe 2) pour  $z = z_{eq}$  (cf. § 1.2).

$$m_{1} = \frac{\int_{0}^{h} m(z).\phi_{1}^{2}(z).dz}{\int_{0}^{h} \phi_{1}^{2}(z).dz}$$
(A3.6)

Avec: 
$$\phi_1(z) = (\frac{z}{h})^{\xi}$$
 (A3.7)

Où:

- h (en m) est la hauteur totale de la structure par rapport au sol;
- z (en m) est la hauteur par rapport au sol du point considéré;

 $\xi$  = 2,5 pour les structures en treillis.

Calcul de  $m_1$  par la formule suivante  $m_1 = \frac{\sum_{j=0}^{h} m(z) \cdot \Phi^2(z)}{\sum_{j=0}^{h} \Phi^2(z)}$ 

Tronçon	Niveau Z	ξ	$\Phi(z) = \left(\frac{z}{h}\right)^{\xi}$	<i>m</i> ( <i>z</i> ) Kg/m	$m(z).\Phi^2(z)$
6	27,5	2.5	0,002	133,0	1,1
5	22,5	2.5	0,031	114,0	20,8
4	18,5	2.5	0,124	126,0	61,8
3	14	2.5	0,260	209,0	195,0
2	8,5	2.5	0,435	260,0	438,0
1	3	2.5	0,768	274,0	916,0
			$\sum_{0}^{h} \Phi^{2}(z) = 1.62$		$\sum_{0}^{h} m(z).\Phi^{2}(z) = 397$

Tableau 42 : Calcul de  $m_1$ 

$$m_1 = \frac{\sum_{0}^{n} m(z).\Phi^2(z)}{\sum_{0}^{h} \Phi^2(z)} = \frac{397}{1.62} = 245kg/m$$

Par conséquent la valeur de  $\delta_a$  est de :

Vent à 0° 
$$(C_f = 3.07);$$
  $\delta_a = \frac{1.2 \times 2.45 \times 3.07}{2 \times 3.8 \times 245} \times 56.07 = 0.27;$ 

Vent à 45° (Cf = 3.07); 
$$\delta_a = \frac{1.2 \times 1.95 \times 3.48}{2 \times 3.8 \times 245} \times 56.07 = 0.31$$

Le décrément logarithmique  $\delta$  est donc:

- Vent à 0° 
$$\delta_0 = \delta_{a0} + \delta_s = 0.27 + 0.05 = 0.32$$

- Vent à 45° 
$$\delta_{45} = \delta_{a45} + \delta_s = 0.31 + 0.05 = 0.36$$

Partie résonante  $\mathbb{R}^2$  (cf. § 3.3.2)

$$R^{2} = \frac{\pi^{2}}{2 \times \delta} x R_{N} x R_{h} x R_{b} = \frac{\pi^{2}}{2 \times \delta} x R_{N} x R_{h} x R_{b}$$

$$(3.4)$$

Vent à 0° 
$$R^2 = \frac{\pi^2}{2 \times \delta_0} x R_N x R_h x R_h = \frac{\pi^2}{2 \times 0.32} x 0.044 x 0.10 x 0.64 = 0.04$$

Vent à 45° 
$$R^2 = \frac{\pi^2}{2 \times \delta_{45}} x R_N x R_h x R_b = \frac{\pi^2}{2 \times 0.36} x 0.044 x 0.10 x 0.64 = 0.04$$

Facteur de pointe g (cf. § 3.3.3)

$$g = \sqrt{2 \times Ln(600 \times \nu)} + \frac{0.6}{\sqrt{2 \times Ln(600 \times \nu)}} \ge 3$$
 (3.11)

Où:

v (en Hz) est la fréquence moyenne donnée par :

$$v = n_{1,x} \times \sqrt{\frac{R^2}{Q^2 + R^2}} \ge 0.08$$
 [Hz] (cf. eq. 3.12)

Où:

v (en Hz) est la fréquence moyenne donnée par : 
$$v = n_{l,x} \times \sqrt{\frac{R^2}{Q^2 + R^2}} \ge 0.08$$

	R²	Q²	$n_{1,x}$	ν	g
Vent à 0°	0.44	0.67	3.8	0.94	3.73
Vent à 45°	0.44	0.67	3.8	0.89	3.71

Tableau 43 : Facteur de pointe.

#### Finalement Cd

Vent à 0°	Vent à 45°
g=3.71	g=3.73
$Iv(z_{eq}) = 0.085$	$Iv(z_{eq}) = 0.085$
$Q^2 = 0.67$	$Q^2 = 0.67$
$R^2 = 0.44$	$R^2 = 0.44$
$Cd = \frac{1 + 2 \times g \times I_{\nu}(z_{eq}) \times \sqrt{Q^2 + R^2}}{1 + 7 \times I_{\nu}(z_{eq})} = 0.96$	$Cd = \frac{1 + 2 \times g \times I_{\nu}(z_{eq}) \times \sqrt{Q^2 + R^2}}{1 + 7 \times I_{\nu}(z_{eq})} = 0.96$

Tableau 44 : Coefficient Cd

#### **ACTIONS D'ENSEMBLE** (cf. $\S$ 2.6)

La force exercée par le vent F<sub>w</sub> agissant sur une construction ou un élément de construction peut être déterminée directement en utilisant l'expression (2.9) ou (2.10).

$$F_{w} = C_{d} \times C_{f} \times q_{p}(z_{j}) \times A_{ref} \qquad [N]$$
 (cf. eq. 2.9)

Ou par sommation vectorielle sur les éléments de construction individuels à l'aide de l'expression.

$$F_w = C_d \times \sum C_f \times q_p(z_j) \times A_{ref} \quad [N]$$
 (cf. eq. 2.10)

Où:

- C<sub>d</sub> est le coefficient dynamique défini au chapitre 3 ;
- Cf est le coefficient de force défini au chapitre 4

## CALCUL DES FORCES À L'AIDE DES COEFFICIENTS DE FORCES (cf. §2.6.1)

La force exercée par le vent F<sub>w</sub> agissant sur une construction ou un élément de construction peut être déterminée directement en utilisant l'expression (2.9) ou (2.10)

$$F_w = C_d \times C_f \times q_p(z_j) \times A_{ref} \qquad [N] \qquad (cf. \S 2.9)$$

Ou par sommation vectorielle sur les éléments de construction individuels à l'aide de l'expression :

$$F_w = Cd \times \Sigma C_f \times q_p(zj) \times A_{ref} \qquad [N] \qquad (cf. eq. 2.10)$$

Avec: 
$$q_p(zj) = q_{ref} x C_e(zj)$$
 (cf. eq. 2.1)

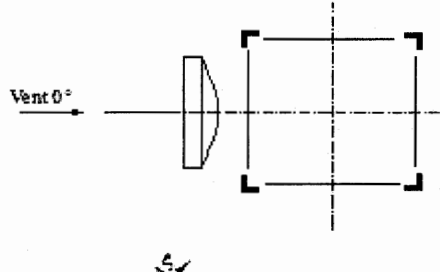
# Vent normal à une face (à 0°)

		rw e	5.0	TRONCON F	(m)	z <sub>j</sub> (m)	$A_{ref}$ (cm²)	$C_{f_0}$	$C_d$	$C_e(zj)$	$q_p(zj)$ (N/m²)	$F_{w_i}$ N
		,			Fw6	27,50	14956	3,16	0.96	8.31	3116	14137
		FW 6	2:0	TRONCON E	Fw5	22,50	14956	2,98	0.96	8.04	3014	12900
		FW 1 - 5	6.0	TRONCON D	Fw4	18,50	19290	3,03	0.96	7.74	2903	16289
27.5	22.5	FW 3	3.0	TRONCON C	Fw3	14,00	12450	3,07	0.96	7.28	2731	10017
	18.5	FW 2	6.0	TRONCON B	Fw2	8,50	25998	3,13	0.96	6.40	2401	18749
		3.0			Fw1	3,00	29822	3,13	0.96	4.56	1709	15323

# Vent suivant la diagonale (à 45°)

			$\mathbf{z}_{j}$	$A_{ref}$	$C_{f_{45}}$	$C_d$	$C_e(zj)$	$q_p(zj)$	$F_{w_i}$
		(m)	(m)	(cm²)	./ 45	d	e (-j)	$(N/m^2)$	N
	IN 6 LG TRONCON F	Fw6	27,50	14956	3.52	0.96	8.31	3116	15748
	PW 6	Fw5	22,50	14956	3.52	0.96	8.04	3014	15238
	FN 4 C FRONCON D	Fw4	18,50	19290	3.48	0.96	7.74	2903	18708
27.5	1 TRONCON C	Fw3	14,00	12450	3.46	0.96	7.28	2731	11290
	CO 180NCON B	Fw2	8,50	25998	3.43	0.96	6.40	2401	20545
	PW 1 TRONGON A	Fw1	3,00	29822	3.54	0.96	4.56	1709	17330

# Vent sur l'antenne parabolique





FA D		z <sub>j</sub> (m)	$A_{ref}$ cm <sup>2</sup>	$C_{f_0}$	$C_d$	$C_e(zj)$	$q_p(zj)$ (N/m²)	F <sub>w</sub>
	FA	27,50	8241	1.10	0.96	8.31	3116	2712
27.5		Zj (m)	$A_{ref}$ cm <sup>2</sup>	$C_{f_{45}}$	$C_d$	$C_e(zj)$	$q_p(zj)$ (N/m²)	$F_{_{w}}$ N
	FA	27,50	8241	0.75	0.96	8.31	3116	1849

## C.N.E.R.I.B.

Cité El-Mokrani - SOUIDANIA - ALGER

PAO - CNERIB

Prix de vente : 200 DA

ISBN: 978-9961-845-48-6